



ปีการศึกษา 2533

ปริญญาโท เรื่อง

Thyristor Forced Commutated

โดย

นาย ทวิช ชูเมือง 32.6108

นายทรงพล เขมาภิรมย์ 32.6408

อาจารย์ที่ปรึกษา

อ.สิงห์ทอง พัฒนเศรษฐานนท์

คณะวิศวกรรมศาสตร์

สถาบันเทคโนโลยีพระจอมเกล้า

เจ้าคุณทหารลาดกระบัง

ปริญญานิพนธ์ปีการศึกษา 2533

เรื่อง Thyristor Forced Commutated

ผู้จัดทำ 1. นายทวิช ชูเมือง
2. นายทรงพล เขมาภิรมย์

อาจารย์ที่ปรึกษา

ลงชื่อ

(อาจารย์สิงห์ทอง พัฒนเศรษฐานนท์)

ลงชื่อ

()

ลงชื่อ

()

ลงชื่อ

()

เลขหมู่ T 33102 น 5
เลขทะเบียน 027935
วัน, เดือน, ปี ๑๕.๑๒.๖๔

เอกสารนี้เป็นเอกสารที่สงวนไว้สำหรับการใช้งานเพื่อการศึกษาเท่านั้น
ไม่ว่ากรณีใดๆทั้งสิ้น อีกทั้งห้ามมิให้ตัดแปลงเนื้อหา และต้องอ้างอิงถึงเจ้าของเอกสารทุกครั้งที่มีการนำไปใช้

027935

Thyristor Forced Commutated

ทวิซ	ชูเมือง	326108
ทรงพล	เขมาภิรมย์	326408
สิงห์ทอง	พัฒนเศรษฐานนท์	อาจารย์ที่ปรึกษา

บทคัดย่อ

ในการทำไทรสเตอร์ ดิซี ทอปเปอร์-อินเวอร์เตอร์ โดยใช้หลักการเคอร์เรนซ์ ดิสเพลสเมนท์ คอมมิวเตเตอร์นั้น ส่วนสำคัญที่ต้องพิจารณานั้นคือ วงจรคอมมิวเตชันที่ประกอบด้วย คาปาซิเตอร์และอินเวอร์เตอร์ ซึ่งมีผลทำให้การสิ้นสุดในแต่ละรอบการทำงาน อินดิคเตอร์เกิดการคายพลังงานไปกักเก็บไว้ในคาปาซิเตอร์ ดังนั้นในการวิเคราะห์และออกแบบวงจรทำได้โดย 2 วิธีคือ วิธีแรกกำจัดพลังงานที่เก็บกักไว้ทั้งหมดไป เพื่อสะดวกในการวิเคราะห์และออกแบบ อีกวิธีก็คือมีการนำพลังงานส่วนนี้กลับมาใช้ในการทำงานรอบต่อไป ซึ่งทำให้เวลาในการทำคอมมิวเตชันน้อยลงและที่ระดับกระแสสูงขึ้น โดยการใช้อำนาจ คาปาซิเตอร์และอินดิคเตอร์ที่เหมาะสม

เอกสารนี้เป็นเอกสารที่สงวนไว้สำหรับการใช้งานเพื่อการศึกษาเท่านั้น ไม่อนุญาตให้นำไปใช้ประโยชน์ด้านการค้า
ไม่ว่ากรณีใดๆทั้งสิ้น อีกทั้งห้ามมิให้ดัดแปลงเนื้อหา และต้องอ้างอิงถึงเจ้าของเอกสารทุกครั้งที่มีการนำไปใช้

Thyristor Forced Commutated

Twitch Chumuang 326108

Songphol Khemaphirom 326408

Singthong pattanasettanon Advisor

ABSTRACT

This project considers the fundamental operating principles of a number of current impulse displacement commutation techniques used in thyristor DC choppers and inverters. In each case the optimum commutation pulse is considered and the conditions for unpredictable and undesired operation due to trapped energy 'runaway' are analytically specified. A simple solution exists, preventing undesired operation whereby the trapped energy is not fed back into the supply or dissipated in resistors. The energy is safely retained and used to optimise LC commutation-circuit values. The resultant commutation circuit has a higher current commutating ability for given LC values and can result in circuit with lower losses and shorter commutation cycle times than those circuits of conventional design.

เอกสารนี้เป็นเอกสารที่สงวนไว้สำหรับการใช้งานเพื่อการศึกษาเท่านั้น ไม่อนุญาตให้นำไปใช้ประโยชน์ด้านการค้า
ไม่ว่ากรณีใดๆทั้งสิ้น อีกทั้งห้ามมิให้ดัดแปลงเนื้อหา และต้องอ้างอิงถึงเจ้าของเอกสารทุกครั้งที่มีการนำไปใช้

สารบัญ

บทที่		หน้า
1.	บทนำ	1
2.	โครงสร้างของ SCR	2
3.	การทำให้ SCR หยุดทำงานกระแส	3
4.	การมีงัดมีให้ SCR หยุดทำงานกระแส	12
5.	แสดงการวิเคราะห์วงจร CID	18
6.	การทดลองและผลการทดลอง	30
7.	สรุปและวิจารณ์ผลการทดลอง	33
ภาพผนวก		
บรรณานุกรม		

เอกสารนี้เป็นเอกสารที่สงวนไว้สำหรับการใช้งานเพื่อการศึกษาเท่านั้น ไม่อนุญาตให้นำไปใช้ประโยชน์ด้านการค้า
ไม่ว่ากรณีใดๆทั้งสิ้น อีกทั้งห้ามมิให้ดัดแปลงเนื้อหา และต้องอ้างอิงถึงเจ้าของเอกสารทุกครั้งที่มีการนำไปใช้

บทที่ 1

บทนำ

บทนำนี้แสดงถึงวิธีการที่ทำให้ชุดน้ำกระแสโดยการหยุดจ่ายกระแสแบบสลับ แต่สำหรับแอสซิงโครนัสจะไม่หยุดน้ำกระแสโดยการหยุดจ่ายกระแสเข้าแก่ทแอสซิงโครนัสจะหยุดน้ำกระแสเมื่อลดกระแสที่ไหลผ่านแอสซิงโครนัสต่ำกว่ากระแสขีด (leakage current) เป็นเวลานานกว่า $t_{\text{stop-off-time}}$ (s) ซึ่งเป็นคุณสมบัติของแอสซิงโครนัส ดังนั้นการที่จะทำให้ แอสซิงโครนัส $t_{\text{stop-off}}$ นั้นจึงต้องมีวงจรจัดวงจรให้เหมาะสม

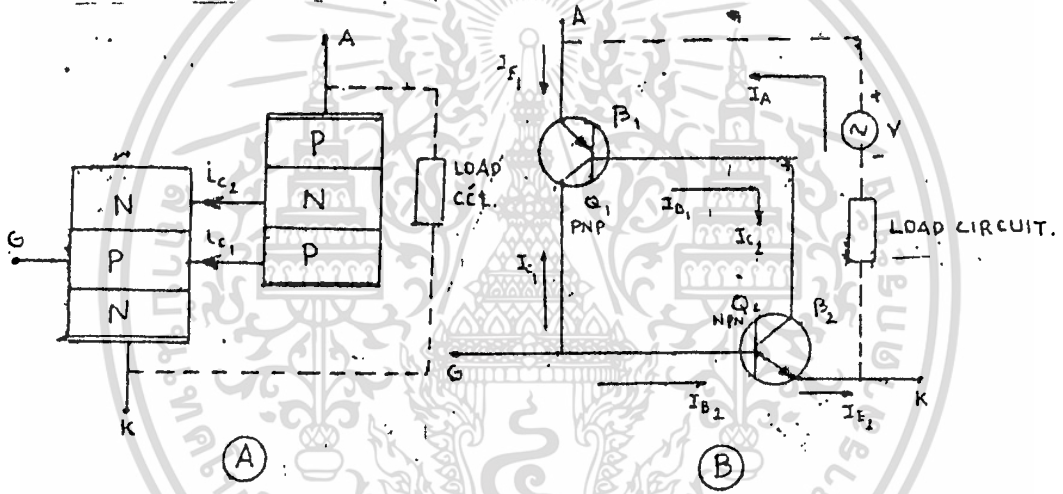


เอกสารนี้เป็นเอกสารที่สงวนไว้สำหรับการใช้งานเพื่อการศึกษาเท่านั้น ไม่อนุญาตให้นำไปใช้ประโยชน์ด้านการค้า
ไม่ว่ากรณีใดๆทั้งสิ้น อีกทั้งห้ามมิให้ดัดแปลงเนื้อหา และต้องอ้างอิงถึงเจ้าของเอกสารทุกครั้งที่มีการนำไปใช้

บทที่ 2

เรื่อง โครงสร้างของ SCR

เอสซีอาร์เป็นสิ่งประดิษฐ์ที่ประกอบด้วยสารกึ่งตัวนำ PNPN 4 ชั้น แต่ต่อเป็นขั้วออกมาได้ 3 ขั้วคือ อาโนด (ANODE), คาโทด (CATHODE) และ เกท (GATE) ดังแสดงในรูปที่ 2.1 เมื่อพิจารณาโครงสร้างของเอสซีอาร์จะเห็นว่าโครงสร้าง PNPN เราสามารถแยกออกเป็นทรานซิสเตอร์ได้สองตัว โดยทรานซิสเตอร์ตัวที่หนึ่งเป็น NPN และตัวหนึ่งเป็น PNP ดังรูปที่ 2.1



รูปที่ 2.1 โครงสร้างของเอสซีอาร์

และถ้าเขียนวงจรทรานซิสเตอร์ ทั้งสองตัวประกอภกันดังรูป ขั้วอาโนดของเอสซีอาร์ จะต่อกับสารชนิด P ที่อยู่ชั้นนอกสุด ขาคาโทดจะต่อกับสารชนิด N ที่อยู่ชั้นนอกสุดเช่นกัน ส่วนขาเกตต่อกับสารชนิด P ชั้นใน ถ้าจะดูกันตามวงจรมุมมองแล้วขาอาโนดก็คือ อิมิตเตอร์ของทรานซิสเตอร์ ชนิด PNP ขาคาโทดคือขาอิมิตเตอร์ของทรานซิสเตอร์ชนิด NPN และขาเกตของเอสซีอาร์ คือขาเบสของทรานซิสเตอร์ชนิด NPN ซึ่งต่อกับขาคอลเลคเตอร์ของทรานซิสเตอร์ PNP ส่วนขาคอลเลคเตอร์ของทรานซิสเตอร์ชนิด NPN ต่อเข้าขาเบสของทรานซิสเตอร์ PNP ลักษณะเช่นนี้เป็นการต่อแบบ POSITIVE FEEDBACK

เอกสารนี้เป็นเอกสารที่สงวนไว้สำหรับการใช้งานเพื่อการศึกษาเท่านั้น ไม่อนุญาตให้นำไปใช้ประโยชน์ด้านการค้า

ไม่ว่ากรณีใดๆทั้งสิ้น อีกทั้งห้ามมิให้ดัดแปลงเนื้อหา และต้องอ้างอิงถึงเจ้าของเอกสารทุกครั้งที่มีการนำไปใช้

ถ้าเราให้ทรานซิสเตอร์ Q_1 มี $\alpha_1 = I_{c1}/I_{E1}$
 ทรานซิสเตอร์ Q_2 มี $\alpha_2 = I_{c2}/I_{E2}$

และกระแสรั่ว (LEAKAGE) I_{c0}

จากรูป A และ B กระแสที่ไหลผ่านโหนดเป็น I_A

จากรูป B จะเห็นว่ากระแสที่ผ่านโหนดเป็น $I_{c1} + I_{c2} + I_{c0} = I_A$

$$I_A = \alpha_1 I_{E1} + \alpha_2 I_{E2} + I_{c0} \quad A$$

แต่จากรูป A

$$I_{E2} = I_{E1} = I_A \quad A$$

$$\begin{aligned} I_A &= (\alpha_1 + \alpha_2) I_A + I_{c0} \\ &= I_{c0} / (1 - (\alpha_1 + \alpha_2)) \end{aligned}$$

ถ้าเราให้

$$\beta_1 = I_{c1} / I_{B1}$$

$$\beta_2 = I_{c2} / I_{B2}$$

เมื่อ I_{B1} และ I_{B2} เป็นกระแสขาเข้า

$$I_{E1} = I_{B1} + I_{c1}$$

$$I_{E2} = I_{B2} + I_{c2}$$

$$\alpha_1 = \beta_1 / (1 + \beta_1)$$

$$\alpha_2 = \beta_2 / (1 + \beta_2)$$

เอกสารนี้เป็นเอกสารที่สงวนไว้สำหรับการใช้งานเพื่อการศึกษาเท่านั้น ไม่อนุญาตให้นำไปใช้ประโยชน์ด้านการค้า
 ไม่ว่ากรณีใดๆทั้งสิ้น อีกทั้งห้ามมิให้ตัดแปลงเนื้อหา และต้องอ้างอิงถึงเจ้าของเอกสารทุกครั้งที่มีการนำไปใช้

แทนค่า α_1 และ α_2 ลงในสมการ I_A จะได้

$$I_A = (1 + \beta_1)(1 + \beta_2) I_{CO} / (1 - \beta_1 \beta_2)$$

จะเห็นว่าถ้า $\beta_1 \beta_2$ มีค่าน้อยกว่า 1 มากๆ แล้ว I_A จะมีค่าน้อยมาก เพราะ I_{CO} มีค่าน้อย ซึ่งกรณีนี้เรียกว่า "TURNED OFF" หรือ FORWARD BIAS วงจรจะมีเสถียรภาพไม่มีการเปลี่ยนแปลงแต่อย่างใด แต่ถ้า $\beta_1 \beta_2$ มีค่ามากกว่า 1 แล้วจะทำให้มีการป้อนกลับ (FEED BACK) แบบบวก ซึ่งจะเพิ่มกระแสให้ทำงานเพิ่มขึ้นเรื่อยๆ

แต่ถ้าเราให้แรงดันที่เอาโนดเป็นบวกและคาโทดมีค่าเป็นลบและแรงดันที่เกทมีค่าเป็นลบ จะเห็นว่าเกิดการไบแอสกลับ (REVERSE BIAS) ตรงรอยต่อของทรานซิสเตอร์ Q_1 ซึ่งจะเป็ผลให้ทรานซิสเตอร์ Q_2 ไม่นำกระแสคือไม่มีกระแสไหลเข้าทางคอลเลคเตอร์ นอกจากกระแสรั่วไหล (I_{CO}) เท่านั้น ดังนั้นแอสซิงอาร์จะไม่มีกระแสไหลจากเอาโนดไปยังคาโทด ในกรณีเช่นนี้ความต้านทานระหว่างเอาโนดและคาโทดจะมีค่าสูงมาก

ถ้าให้แรงดันที่เกทมีค่าเป็นบวกหรือกระแสไหลเข้าขาเกทจะทำให้ทรานซิสเตอร์ Q_2 นำกระแสเป็นเหตุให้กระแสคอลเลคเตอร์มีค่ากระแสสูง และเนื่องมาจากค่ากระแสคอลเลคเตอร์ของ Q_2 เป็นกระแสเบสของ Q_1 จึงเท่ากับว่าเป็นการทำให้ทรานซิสเตอร์ Q_1 นำกระแสด้วย ก็จะเป็นผลทำให้กระแสที่ไหลจากเอาโนดไปยังคาโทดเพิ่มขึ้นอย่างรวดเร็ว ถึงกระแสนี้จะถูกจำกัดโดยวงจรภายนอก ดังนั้นในกรณีเช่นนี้ค่าความต้านทานระหว่าง เอาโนดและคาโทด จะมีค่าต่ำมาก

จากหลักการข้างบนนี้จะเห็นว่าแอสซิงอาร์ จะทำงานว่ามีกระแสทริกให้กับขาเกทโดยกระแสทริกนี้จะมิตค่าเป็นบวก หลังจากทริกแล้วกระแสจะไหลระหว่างเอาโนดและ คาโทด ตลอดเวลา และไม่จำเป็นต้องคงกระแสทริกนี้ไว้ เพราะกระแสที่ทริกก็เหมือนกระแสเบสของ Q_2 สามารถมาจากกระแสคอลเลคเตอร์ของ Q_2 ได้ ส่วนกระแสในวงจรภายนอกที่ไหลขึ้นอยู่กับขนาดแรงดันระหว่างเกทและแรงดันระหว่างขาเอาโนดและคาโทด เท่านั้น

2.1 Turn-off-time ของเอสซีอาร์

Turn-off-time (t_{off}) ของเอสซีอาร์ เป็นระยะเวลาตั้งแต่การทำให้กระแสที่ไหลผ่านเอสซีอาร์ไหลย้อนกลับ แล้วกลับสู่ศูนย์ (ช่วงเวลาเอสซีอาร์กลับคืนสภาวะใหม่ที่เราเรียกว่า reverse recovery time- t_{rr}) จนถึงเวลาที่สามารถจ่ายแรงดันฟอร์เวิร์ดได้อีกครั้งโดยไม่ทำให้เอสซีอาร์นำกระแสได้ turn-off-time เป็นค่าที่บอกไว้ใน data sheet โดยมีข้อกำหนดที่อุณหภูมิที่ Junction, I_T , $-dI_F/dt$, V_{FR} และ dV/dt ดังเช่น $I_F = 150 \text{ A}$, $T_J = 125^\circ \text{C}$, $dI_F/dt = 50 \text{ A}/\mu\text{sec}$, $dV/dt = 20 \text{ V}/\mu\text{sec}$ และ $t_{off} = 60 \mu\text{sec}$ ซึ่งหมายความว่า

ช่วงเวลาที่เอสซีอาร์จะหยุดนำกระแส (turn-off) กระแสที่ไหลผ่านเอสซีอาร์ในทางฟอร์เวิร์ด (I_F) จะต้องไม่เกิน 150 A อุณหภูมิ junction T_J ไม่เกิน 125°C และในอัตราการลดลงของกระแสฟอร์เวิร์ดต้องไม่น้อยกว่า $50 \text{ A}/\mu\text{sec}$ แล้วเอสซีอาร์ยังคงรักษาสภาวะหยุดนำกระแสเป็นเวลานานอีก $60 \mu\text{sec}$ จึงเริ่มจ่ายแรงดันฟอร์เวิร์ดอีกครั้งด้วยอัตราการเพิ่มที่ไม่เกิน $20 \text{ V}/\mu\text{sec}$ โดยเพิ่มขึ้นอย่างต่อเนื่อง (linear) สู่แรงดัน $0.8 V_{FR}$ ($V_{FR} = \text{Forward breakdown voltage}$)

เมื่อมีค่าอันใดมากกว่าค่าดังกล่าว turn-off-time จะมากกว่า $60 \mu\text{sec}$ แสดงดังรูป

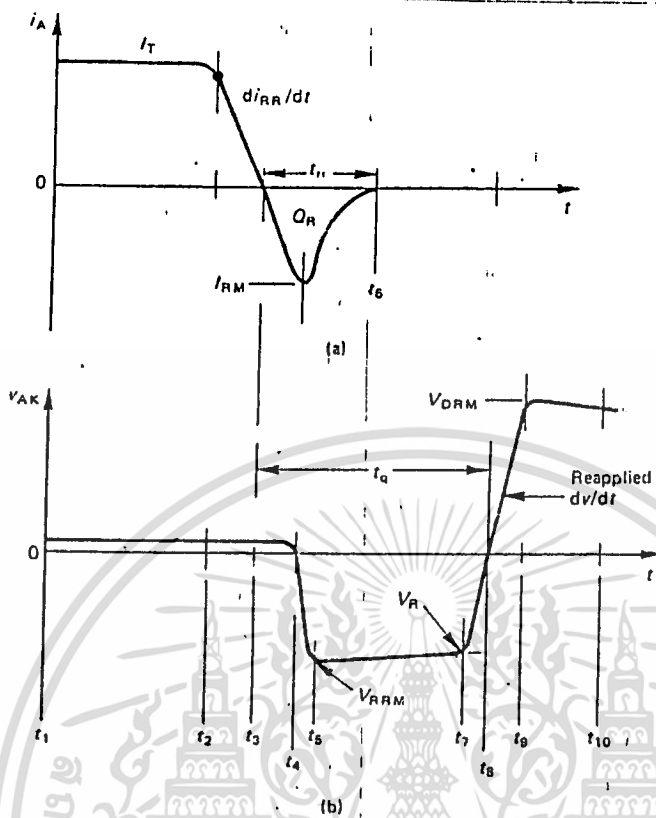
ดังนั้นวงจรที่จะทำให้เอสซีอาร์หยุดนำกระแส (commutation circuit)

จะต้องรักษาข้อกำหนดดังกล่าวเป็นเวลานานกว่า turn-off-time ของเอสซีอาร์

เอสซีอาร์จะแบ่งเป็น 2 ชนิด ตามคุณสมบัติของ turn-off-time คือ phase control SCR's ซึ่งมี turn-off-time ระหว่าง $50-250 \mu\text{sec}$ ซึ่งใช้ในการเปลี่ยนไฟฟ้กระแสสลับเป็นไฟฟ้กระแสตรง และวงจรเปลี่ยนระดับแรงดันไฟฟ้กระแสสลับโดยการควบคุมเฟส และ Fast switching SCR's หรือเรียกว่า inverter SCR's ซึ่งมี turn-off-time ระหว่าง $5-50 \mu\text{sec}$ ซึ่งใช้ในวงจรเปลี่ยนไฟฟ้กระแสตรงโดยวิธีการชอปเปอร์ (chopper) และวงจรเปลี่ยนไฟฟ้กระแสตรงเป็นกระแสสลับ (inverter)

สำหรับเอสซีอาร์ที่มี turn-off-time = $60 \mu\text{sec}$ สามารถใช้ในวงจร phase control ซึ่งมีแหล่งจ่ายไฟฟ้กระแสสลับที่มีความถี่สูงสุด

$$f_{max} = 1/(120 * 10^{-6}) = 8333 \text{ Hz}$$



รูปที่ 2.2 Thyristor anode waveforms for turn-off time measurement with forced commutation: (a) anode current; (b) anode-to-cathode voltage.

2.2 ขีดจำกัดทางด้านแรงไฟของเอสซีอาร์

ลักษณะโดยทั่วไปที่ใช้สำหรับกระแส และแรงดันไฟฟ้า ซึ่งแสดงโดย subscripts ตัวที่ 1 เป็นการแสดงทิศทางหรือสภาวะต่างๆ คือ

D= ไม่เน้นกระแสขณะได้รับฟอร์เวิร์ด

F= forward, R= reverse, T= on-state

subscripts ตัวที่ 2 แสดงขีดจำกัดในสภาวะต่างๆคือ

W= ค่าขณะอยู่ในสภาวะตาม subscripts ตัวที่ 1

R= การเกิดขึ้นซ้ำ ๆ (Repetitive)

S= ไม่ได้เกิดขึ้นซ้ำๆ (Non-repetitive)

เอกสารนี้เป็นเอกสารที่ควรไว้สำหรับใช้งานเพื่อการศึกษาเท่านั้น ไม่นอนุญาตให้นำไปใช้ประโยชน์ด้านการค้า

subscripts ตัวที่ 3 เป็นอักษร M แสดงค่าสูงสุด

ไม่ว่ากรณีใดๆทั้งสิ้น อีกทั้งห้ามมิให้ดัดแปลงเนื้อหา และต้องอ้างอิงถึงเจ้าของเอกสารทุกครั้งที่มีการนำไปใช้

V_{DWM} และ V_{RWM} = แรงดันทางด้านฟอร์เวิร์ดและรีเวิร์ดสูงสุดของแหล่งจ่ายไฟกระแสสลับ ($\sqrt{2} v_{rms}$) ที่จ่ายให้เอสซีอาร์และเอสซีอาร์จะไม่นำกระแส โดยไม่มีสัญญาณเทริกเกอร์ โดยไม่คิด transient ที่เกิดขึ้นซ้ำๆ และไม่ซ้ำๆ ในคู่มือจะเขียนว่า Working peak off-state and reverse-vltage

V_{DRM} และ V_{RRM} = แรงดัน transient ถ้าไม่เกินกำหนดทางด้านฟอร์เวิร์ด และรีเวิร์ด ที่เกิดขึ้นซ้ำๆ ในทุกๆ ไซเคิลของแหล่งจ่ายไฟกระแสสลับ จะไม่ทำให้เอสซีอาร์นำกระแส โดยไม่มีสัญญาณเทริกเกอร์ ในคู่มือจะเขียนว่า Repetitive Peak off-state and reverse voltage หรือ Repetitive Peak forward and reverse blocking voltage

V_T = แรงดันที่คร่อมระหว่างแอโนดและคาโทดขณะที่นำกระแสฟอร์เวิร์ด และมีอุณหภูมิที่ junction ที่กำหนดในคู่มือ

d_v/d_t = อัตราการเพิ่มของแรงดันที่คร่อมแอโนดและคาโทด สูงสุดที่จะไม่ทำให้เอสซีอาร์นำกระแส โดยไม่มีสัญญาณเทริกเกอร์ เอสซีอาร์ซึ่งประกอบด้วยสาร PNPN มีคุณสมบัติของคาปาซิเตอร์ระหว่างแอโนดและคาโทด กระแสที่ไหลผ่านเอสซีอาร์เท่ากับ $C d_v/d_t$ ดังนั้นเมื่อแรงดันระหว่างแอโนดและคาโทดเปลี่ยนแปลงด้วยอัตราสูงที่จะทำให้มีกระแสไหลผ่านเอสซีอาร์ ซึ่งถ้ามีกระแสไหลผ่านเอสซีอาร์มากกว่ากระแสขั้วเอสซีอาร์ก็จะนำกระแสได้ ดังนั้นเมื่อเกิด transient ทำให้อัตราการเปลี่ยนแปลงของแรงดันคร่อมแอโนดและคาโทดสูง จะทำให้เอสซีอาร์นำกระแสได้โดยไม่มีสัญญาณเทริกเกอร์

2.3 ขีดจำกัดทางด้านกระแสที่ไหลผ่านเอสซีอาร์

I_{DFM} และ I_{RFM} = กระแสรั่วผ่านเอสซีอาร์เมื่อได้รับแรงดันสูงสุดทางด้านฟอร์เวิร์ดและรีเวิร์ด (Peak Forward and Reverse leakage current)

$I_T(rms)$ = กระแส rms สูงสุดที่ไหลผ่านเอสซีอาร์ทางด้านฟอร์เวิร์ดที่อุณหภูมิไม่สูงกว่าที่กำหนด แล้วจะไม่ทำให้เอสซีอาร์เสียหาย (Max. rms forward current)

$I_T(surge)$ = กระแสเฉลี่ยสูงสุดที่ไหลผ่านเอสซีอาร์ทางด้านฟอร์เวิร์ดที่อุณหภูมิไม่สูงกว่าที่กำหนด แล้วจะไม่ทำให้เอสซีอาร์เสียหาย (Surge or state current)

เอกสารนี้เป็นเอกสารที่สงวนไว้สำหรับการใช้งานเพื่อการศึกษาเท่านั้น ไม่นอนุญาติให้นำไปใช้ประโยชน์ด้านการค้า

ไม่ว่ากรณีใดๆทั้งสิ้น อีกทั้งห้ามมิให้ดัดแปลงเนื้อหา และต้องอ้างอิงถึงเจ้าของเอกสารทุกครั้งที่มีการนำไปใช้

I_{TBM} และ I_{FM} = กระแส surge สูงสุดที่เกิดขึ้นในเวลาสั้นๆ ซึ่งแสดงในคู่มือ ถ้า กระแส surge เกินที่กำหนด หรือเกิดขึ้นนานกว่าที่กำหนด จะทำให้เอสซีอาร์เสียหายได้ (surge on-state current)

I^2t = เป็นค่าของกระแสยกกำลังสองคูณกับเวลาซึ่งจะต้องไม่เกินที่กำหนด ในคู่มือจึงจะไม่ทำให้เอสซีอาร์เสียหายได้ซึ่งค่านี้จะเป็นคุณสมบัติของนิวส์จำนวน semiconductor fuse จึงต้องเลือกนิวส์ให้เหมาะสมในการใช้นิวส์ป้องกันไม่ให้เอสซีอาร์เสียหาย

d_1/d_T = อัตราการเพิ่มขึ้นของกระแสผ่านเอสซีอาร์ที่เกิดขึ้นซ้ำๆ กันหลังจากทำการทรริกเกททำให้เอสซีอาร์นำกระแส ซึ่งเป็นขีดจำกัดของเอสซีอาร์อันหนึ่ง คือ เอสซีอาร์สามารถนำกระแสสูงสุดได้ตามกำหนดในคู่มือ เมื่อกระแสไหลผ่านพื้นที่ทั้งหมดของสารกึ่งตัวนำ PNPN ที่ปะกักันอยู่ แต่ว่าเมื่อเอสซีอาร์ถูกทรริกให้เริ่มนำกระแส สารกึ่งตัวนำที่อยู่ใกล้ๆ เกทของเอสซีอาร์จะนำกระแส ซึ่งมีพื้นที่ เล็กๆ ก่อนแล้วค่อยๆ กระจายไปพื้นที่ทั้งหมดของสารกึ่งตัวนำ เพราะฉะนั้นถ้าอัตราการเพิ่มของกระแสต่อเวลา d_1/d_T สูงกว่ากำหนด อาจจะเป็นสาเหตุทำให้เกิดความร้อนเฉพาะจุด (hot spots) ที่ junction และทำให้เอสซีอาร์เสียหายได้ในการลดอัตราการเพิ่มขึ้นของกระแสต่อเวลาทำได้โดยการต่อ inductance อเนกกรมกับเอสซีอาร์

I_L = กระแสค้าง (latching current) เป็นค่าของกระแสต่ำสุดที่ต้องรักษาเพื่อให้เอสซีอาร์นำกระแสหลังจากพัลส์ที่ทรริกเอสซีอาร์ถูกนำออกจากเกทของเอสซีอาร์

I_H = กระแสยึด (holding current) เป็นค่าของกระแสมากที่สุดที่ต้องลดลงให้ต่ำกว่า เพื่อให้เอสซีอาร์เปลี่ยนจากสถานะนำกระแสเป็นหยุดนำกระแส กระแสยึดเกิดขึ้นเมื่อกระแสไหลผ่านเอสซีอาร์ในสถานะนำกระแสลดลงจนกระทั่งเอสซีอาร์หยุดนำกระแส แต่กระแสค้างเกิดขึ้นเมื่อเอสซีอาร์อยู่ในสถานะไม่นำกระแสไปสู่สถานะเริ่มต้นนำกระแส



2.4 ขีดจำกัดทางด้านอุณหภูมิ

T_j = อุณหภูมิ junction ของสารกึ่งตัวนำ PNPM ซึ่งไม่สามารถจะตรวจสอบและวัดด้วยเครื่องวัดไฟฟ้าได้

T_{amb} = Storage temperature เป็น องศา C

$R_{\theta j-c}$ = ความต้านทานอุณหภูมิ ระหว่าง junction กับ case มีหน่วยเป็น องศา C/watt

$R_{\theta c-h}$ = ความต้านทานอุณหภูมิ ระหว่าง case กับ Heat sink มีหน่วยเป็น องศา C/watt

2.5 ขีดจำกัดของเกท

I_{GT} = กระแสที่ จะทริกให้เอสซีอาร์นำกระแส เมื่อมีแรงดันคร่อมเอสซีอาร์ และมีอุณหภูมิที่ junction ตามที่กำหนด

V_{GT} = แรงดันที่จ่ายให้เกทกับคาโทดของเอสซีอาร์ เพื่อให้เอสซีอาร์นำกระแสเมื่อมีแรงดันคร่อมเอสซีอาร์ และมีอุณหภูมิที่ junction ตามที่กำหนด

I_{FSM} หรือ I_{FTM} = กระแสสูงสุดทางด้านฟอร์เวิร์ด (Peak forward gate current)

I_{RSM} = กระแสสูงสุดทางด้านรีเวิร์ด (Peak reverse gate current)

P_{GM} = กำลังสูงสุดที่เกททนได้ (Peak gate power)

P_{GAVG} = กำลังเฉลี่ยที่เกททนได้ (Average gate power)

t_{off} = turn-off time

t_{on} = turn-on time

บทที่ 3

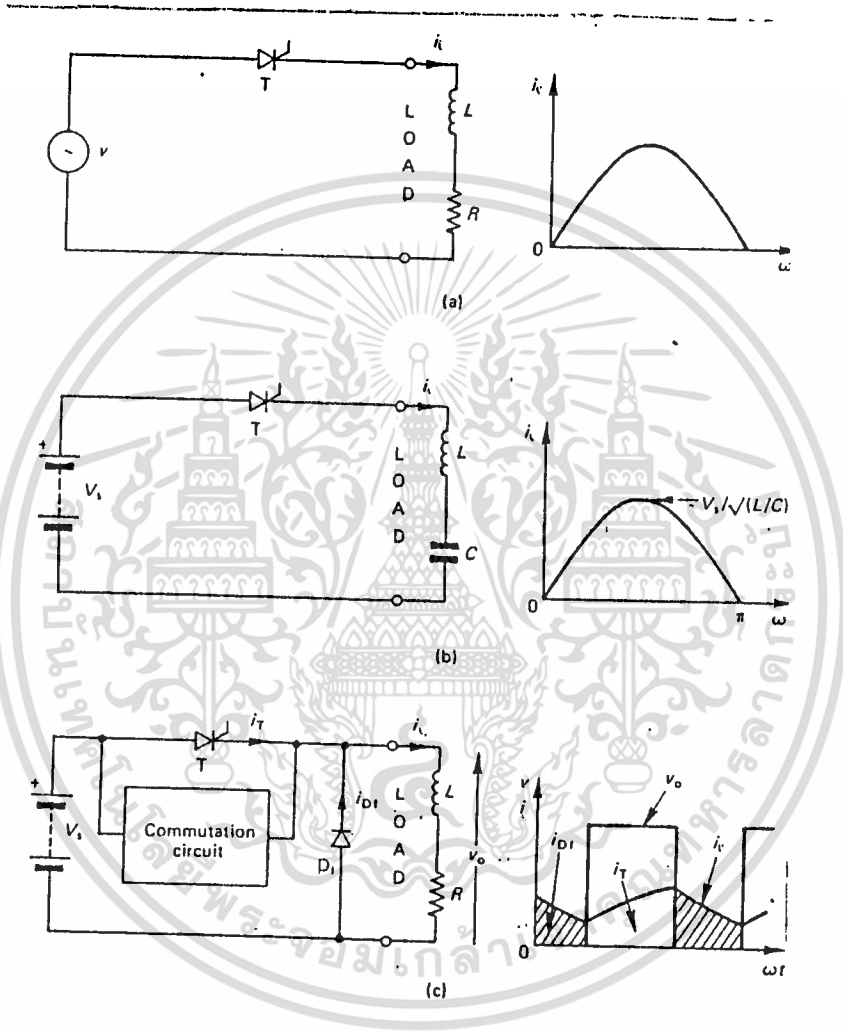
เรื่อง การทำให้ SCR หยุดนำกระแส

วิธีการทำให้กระแสไหลผ่านเอสซีอาร์ลดลงต่ำกว่ากระแสยึด สามารถทำได้โดยการลดแรงดันคร่อมเอสซีอาร์ลงสู่ศูนย์ หรือจ่ายแรงดันรีเวอร์ตไบอัสให้เอสซีอาร์ วิธีการพื้นฐานของการทำให้เอสซีอาร์หยุดนำกระแสสามารถจัดแบ่งได้ 3 วิธีการคือ

3.1) การทำให้เอสซีอาร์หยุดนำกระแสโดยแหล่งจ่ายไฟเป็นกระแสสลับซึ่งเรียกว่า Line commutation หรือ Natural commutation คือแหล่งจ่ายไฟฟ้ากระแสสลับแรงดันไฟฟ้าจะตกลงสู่ศูนย์ และมีแรงดันไฟฟ้ากลับทิศทาง ซึ่งจะเป็นการจ่ายรีเวอร์ตไบอัสแก่เอสซีอาร์ในทุกๆ ไซเคิล และกระแสที่ไหลผ่านเอสซีอาร์จะตกลงเป็นศูนย์ ซึ่งถ้าเป็นเวลานานกว่า $turn-off-time$ (t_{off}) ก่อนที่จะจ่ายแรงดันไฟฟ้าเฟสรีเวอร์ตอีกครั้งหนึ่งซึ่งเป็นวิธีการทำให้เอสซีอาร์หยุดนำกระแส ในการเปลี่ยนไฟฟ้ากระแสสลับเป็นไฟฟ้ากระแสตรง (converter) และการเปลี่ยนแรงดันไฟฟ้ากระแสสลับโดยการควบคุมเฟส ดังรูปที่ 2.1 (a)

3.2) การทำให้เอสซีอาร์นำกระแสโดยการจัดโหลดให้เหมาะสม (load commutation) ใช้ในการเปลี่ยนแรงดันไฟฟ้ากระแสตรง โดยวิธีการชอปเปอร์ (choppers) และวงจรเปลี่ยนไฟฟ้ากระแสตรงเป็นไฟฟ้ากระแสสลับ (inverters) คือเมื่อเอสซีอาร์ นำกระแสจะเป็นการลวิทไฟเข้าโหลด ซึ่งประกอบด้วยตัวความต้านทาน, อินดักเตอร์, คาปาซิเตอร์ที่มีค่าที่เหมาะสม โดยอยู่ในสภาวะ under-damped กระแสที่ไหลผ่านโหลดจะตกลงสู่ศูนย์ โดยธรรมชาติ เมื่อกระแสที่ไหลผ่านเอสซีอาร์ต่ำกว่ากระแสยึดเป็นเวลานานกว่า $turn-off-time$ จะทำให้เอสซีอาร์หยุดนำกระแสได้ ดังรูปที่ 2.1 (b)

3.3) การทำให้เอสซีอาร์หยุดนำกระแสโดยวิธีการบังคับ (force commutation) เป็นการทำให้กระแสลดลงสู่ศูนย์ ซึ่งโดยทั่วไปจะใช้ในกระแสเนื่องจากการคายประจุของคาปาซิเตอร์ หรือจ่ายรีเวอร์ตไบอัสซึ่งประจุในคาปาซิเตอร์ให้แก่เอสซีอาร์ ดังรูปที่ 2.1 (c)



รูปที่ 3.1

Three basic types of thyristor commutation: (a) source commutation; (b) load commutation; (c) forced commutation.

เอกสารนี้เป็นเอกสารที่สงวนไว้สำหรับการใช้งานเพื่อการศึกษาเท่านั้น ไม่อนุญาตให้นำไปใช้ประโยชน์ด้านการค้า
ไม่ว่ากรณีใดๆทั้งสิ้น อีกทั้งห้ามมิให้ตัดแปลงเนื้อหา และต้องอ้างอิงถึงเจ้าของเอกสารทุกครั้งที่มีการนำไปใช้

บทที่ 4

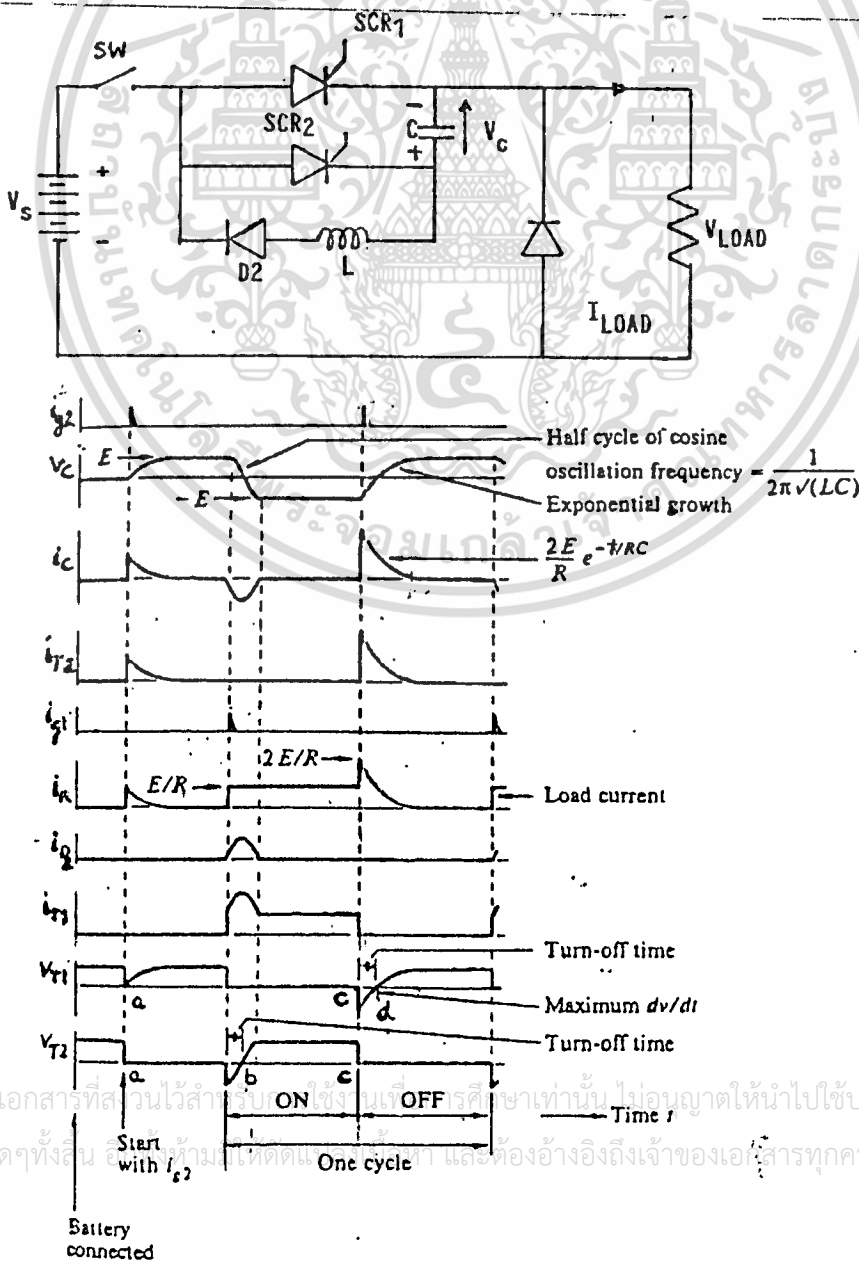
เรื่อง การบังคับให้ SCR หยุดนำกระแส (Thyristor forced commutation)

การบังคับให้เอสซีอาร์หยุดนำกระแสใช้มากใน DC chopper และ inverter มีพื้นฐานอยู่ 2 แบบคือ

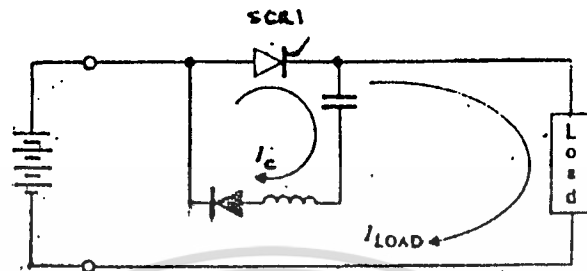
- 4.1) Reverse-impressed-voltage commutation (RIV)
- 4.2) Current-impulse-displacement commutation (CID)

4.1 Reverse-impressed-voltage commutation (RIV)

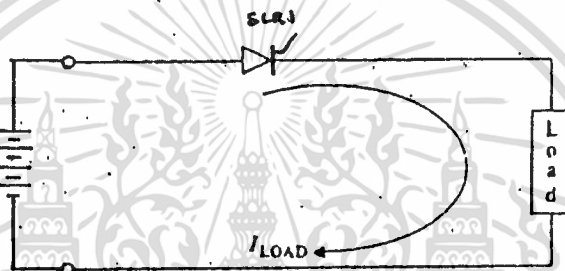
จากวงจรเอสซีอาร์หลัก (SCR 1) จ่ายแรงดันจากแหล่งจ่ายไปให้โหลด และ เอสซีอาร์ 2 จะเป็นตัวทำให้เอสซีอาร์หลักหยุดนำกระแส แสดงดังรูปที่ 4.1



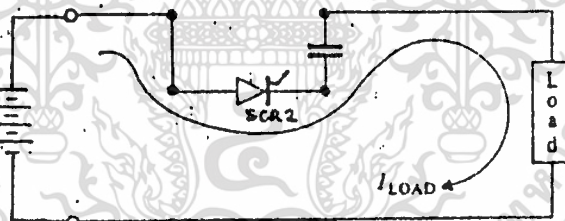
เอกสารนี้เป็นเอกสารที่ส่วนไว้สำหรับนักเรียนชั้นมัธยมศึกษาเท่านั้น ไม่อนุญาตให้นำไปใช้ประโยชน์ด้านการค้า
ไม่ว่ากรณีใดๆทั้งสิ้น อีเมล: info@itd.ac.th โทร: 02-516-0000-0000



A On-priming capacitor



B On-period variable



C Turn-off period



D Off-load flywheeling

รูปที่ 4.2

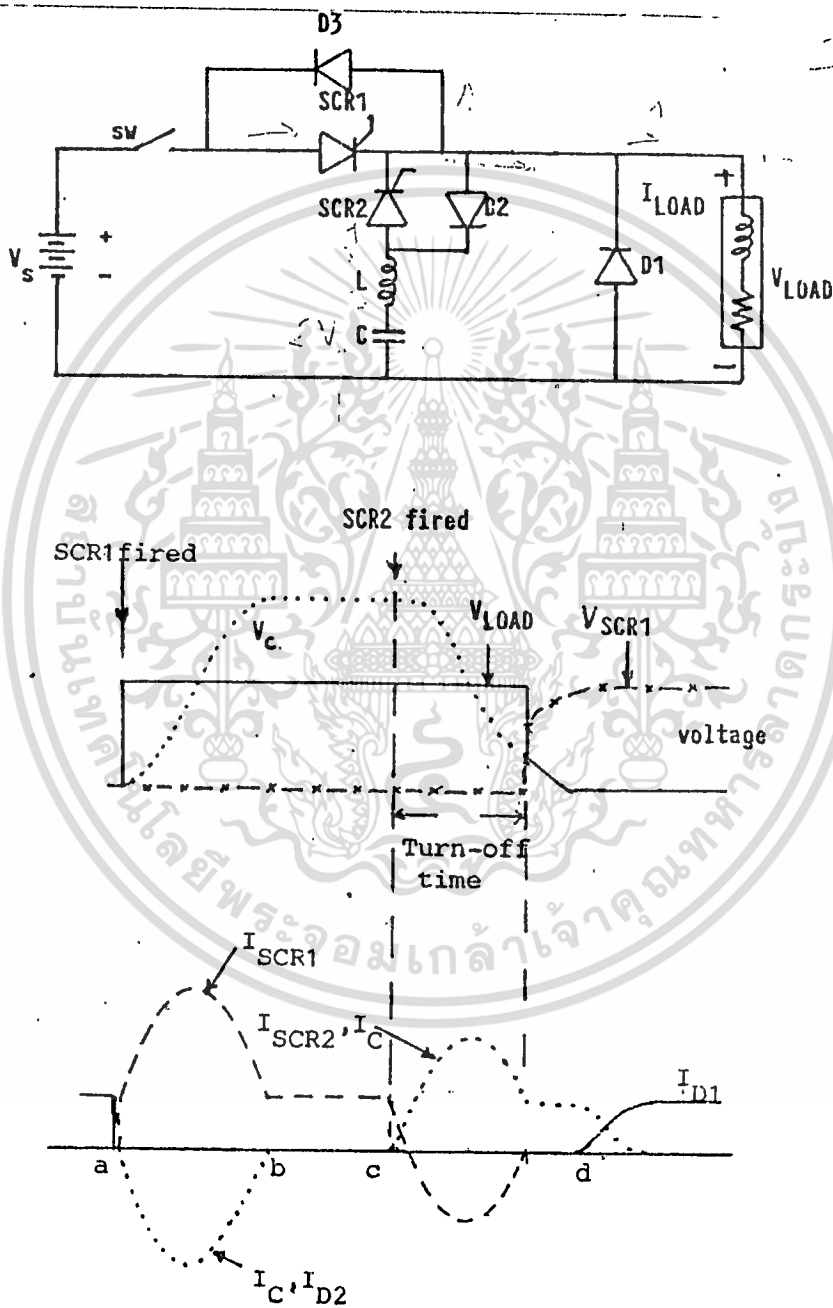
เอกสารนี้เป็นเอกสารที่สงวนไว้สำหรับการใช้งานเพื่อการศึกษาเท่านั้น ไม่อนุญาตให้นำไปใช้ประโยชน์ด้านการค้า
ไม่ว่ากรณีใดๆทั้งสิ้น อีกทั้งห้ามมิให้ดัดแปลงเนื้อหา และต้องอ้างอิงถึงเจ้าของเอกสารทุกครั้งที่มีการนำไปใช้

การทำงานของวงจรเริ่มต้นจะต้องทริกให้เอสซีอาร์ 2 นำกระแสเพื่อประจุไปเข้าคาปาซิเตอร์จนมีแรงดันไฟฟ้า (v_c) ตามทิศทางที่แสดงในรูปที่ 4.2 เอสซีอาร์ 2 ก็จะหยุดนำกระแส เมื่อกระแสไหลผ่านลดลงสู่ศูนย์ ที่จุด a เริ่มทริกเอสซีอาร์ 1 ให้นำกระแสเป็นการจ่ายไฟจากแหล่งจ่ายไฟไปสู่โหลดเป็นการเริ่มต้นสภาวะ T_{off} ขณะที่คาปาซิเตอร์จะคายประจุผ่านเอสซีอาร์ 1 ไดโอด D_2 และอินดักเตอร์ L ที่จุด b กระแสไฟเนื่องจากการคายประจุของคาปาซิเตอร์จะตกลงสู่ศูนย์ แรงดันคร่อมคาปาซิเตอร์จะมีค่า v_c แต่มีทิศทางตรงข้ามกลับที่แสดงในรูป ไดโอด D_2 ก็จะได้รับรีเวิร์ดไบอัสก็จะหยุดนำกระแส คาปาซิเตอร์จะไม่สามารถคายประจุไปทางใดได้ จึงทำให้แรงดันคร่อมคาปาซิเตอร์ยังคงที่อยู่จนกระทั่งถึงจุด c ซึ่งทำการทริกเอสซีอาร์ 2 ให้นำกระแส เอสซีอาร์ 1 ก็จะได้รับรีเวิร์ดไบอัสและกระแสจะไหลผ่านเอสซีอาร์ 2 และคาปาซิเตอร์เข้าโหลด แทนกระแสที่ไหลผ่านเอสซีอาร์ 1 ทำให้กระแสที่ไหลผ่านเอสซีอาร์ 1 ลดลงสู่ศูนย์ แรงดันคร่อมคาปาซิเตอร์ก็จะตกลงสู่ศูนย์ที่จุด d ระยะเวลาจาก c ถึง d จะต้องมากกว่า $turn-off-time$ ของเอสซีอาร์ จึงทำให้เอสซีอาร์ 1 หยุดนำกระแส เพราะเวลาที่จุด d เอสซีอาร์ 1 จะเริ่มได้รับฟอร์เวิร์ดไบอัส

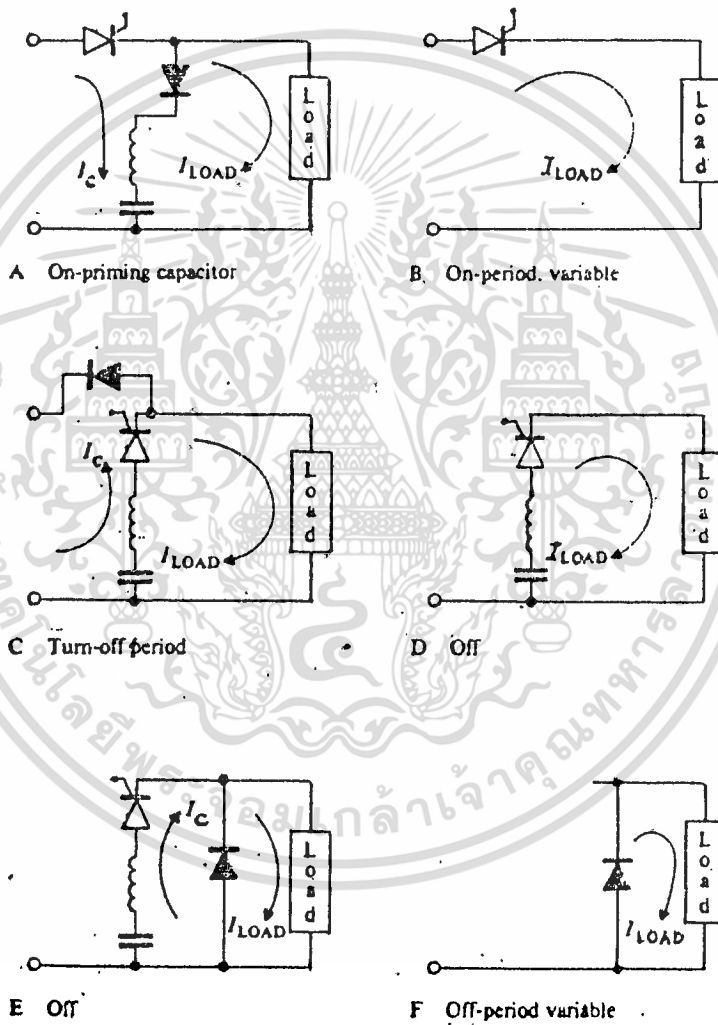
เมื่อมาถึงจุด c แรงดันคร่อมคาปาซิเตอร์จะกลับทิศทางมาอยู่ในทิศทางเดิมตามที่แสดงในรูป โดยมีแรงดันเท่ากับแรงดันจากแหล่งจ่ายไฟ และกระแสที่ไหลผ่านเอสซีอาร์ 2 ก็จะลดลงสู่ศูนย์ เป็นช่วงเวลาที่เริ่มเข้าสู่ T_{off} คือแรงดันที่โหลดตกลงเป็นศูนย์และกระแสไหลจะไหลในไดโอด D_2 และตัวเริ่มทริกเอสซีอาร์ 1 ให้นำกระแสก็จะเข้าสู่สภาวะ T_{off} อีกครั้ง

วงจรที่แสดงในรูป ระยะเวลาจาก c ถึง d จะเปลี่ยนแปลงตามกระแสโหลด ขณะที่คาปาซิเตอร์คายประจุผ่านโหลด ระยะเวลาจาก c ถึง d จะสั้นหรือยาวขึ้นที่มีกระแสโหลดสูง

4.2 Current-impulse-displacement commutation



เอกสารนี้เป็นเอกสารที่สงวนไว้สำหรับการใช้ที่ 4.3 การศึกษาเท่านั้น ไม่อนุญาตให้นำไปใช้ประโยชน์ด้านการค้า
ไม่ว่ากรณีใดๆทั้งสิ้น อีกทั้งห้ามมิให้ตัดแปลงเนื้อหา และต้องอ้างอิงถึงเจ้าของเอกสารทุกครั้งที่มีการนำไปใช้



รูปที่ 4.4

เอกสารนี้เป็นเอกสารที่สงวนไว้สำหรับการใช้งานเพื่อการศึกษาเท่านั้น ไม่อนุญาตให้นำไปใช้ประโยชน์ด้านการค้า
ไม่ว่ากรณีใดๆทั้งสิ้น อีกทั้งห้ามมิให้ดัดแปลงเนื้อหา และต้องอ้างอิงถึงเจ้าของเอกสารทุกครั้งที่มีการนำไปใช้

การทำงานของวงจรถือเมื่อทริกเอสซิวาร์ 1 ให้นำกระแสที่จุด a จะเป็นการจ่ายไฟจากแหล่งจ่ายไปยังโหลด และจะประจุไฟ เข้าคาปาซิเตอร์ โดยผ่านไดโอด D_2 และอินดักเตอร์ L ดังนั้นกระแสที่ไหลผ่านเอสซิวาร์ 1 เป็นผลรวมของกระแสที่ไหลเข้าโหลด และคาปาซิเตอร์กระแสที่ไหลเข้าประจุ คาปาซิเตอร์จะตกเป็นศูนย์ที่จุด b และที่จุดนี้แรงดันที่คร่อมคาปาซิเตอร์จะสูง เป็นสองเท่าของแรงดันของแหล่งจ่ายไฟ และจะคงที่ต่อไปเพราะไดโอด D_2 ได้รับรีเวอร์ตไบอัส คาปาซิเตอร์จะไม่สามารถคายประจุไปทางไหนได้

เมื่อทริกเอสซิวาร์ 2 ให้นำกระแสที่จุด c คาปาซิเตอร์จะคายประจุเข้า โหลดแทนกระแสที่ไหลผ่านเอสซิวาร์ 1 เมื่อกระแสจากการคายประจุของ คาปาซิเตอร์เท่ากับกระแสที่ไหลเข้าโหลด กระแสที่ผ่านเอสซิวาร์ 1 ก็จะตกลง สู่ศูนย์ เอสซิวาร์ 1 ก็จะเริ่มหยุดนำกระแสกระแสจากการคายประจุของคาปาซิเตอร์ จะมากกว่ากระแสไหลต ดังนั้นจึงมีกระแสไหลเข้าสู่แหล่งจ่ายไฟ โดยผ่านทางไดโอด D_2 กระแสที่ไหลผ่านไดโอด D_2 จะค่อยๆลดลงสู่ศูนย์ที่จุด d คาปาซิเตอร์จะคาย ประจุผ่านเอสซิวาร์ 2 สู่โหลดและแรงดันคร่อมคาปาซิเตอร์จะค่อยๆลดลงสู่ศูนย์ โวลท์ กระแสที่ไหลจากคาปาซิเตอร์เข้าโหลดจะลดลงสู่ศูนย์ ถ้าโหลดเป็นอินดักต์ฟไดโอด D_1 จะนำกระแสต่อไป

4.3 ข้อเปรียบเทียบระหว่าง CID และ RIV

- 4.3.1) RIV จะมีเวลาในการ turn-off time สั้นกว่าแบบ CID ดังนั้นจะใช้ใน SCR ที่มี turn-off time สั้นๆ
- 4.3.2) สามารถควบคุม dv/dt ที่เกิดขึ้น จะมีผลต่อ RIV ดังนั้นผลของวงจรถนัปเปอร์จะมีผลต่อการทำงานของวงจรถ
- 4.3.3) การทำงานที่ Duty cycle ต่างๆ ใน RIV จะมีเรกกูเลชันที่เร็วกว่าแบบ CID เพราะจะเกิด สไปท์โวลท์เตจที่เวลา commutation
- 4.3.4) RIV จะใช้ freewheeling ไดโอดที่มี rated เป็นสองเท่าของแหล่งจ่าย
- 4.3.5) การจ่ายพลังงานกลับไปแหล่งจ่ายจะไม่เกิดขึ้นใน RIV จะมีประโยชน์ในกรณีที่โหลดเป็น มอเตอร์
- 4.3.6) CID จะใช้คาปาซิเตอร์ที่มีขนาดเล็กกว่า RIV

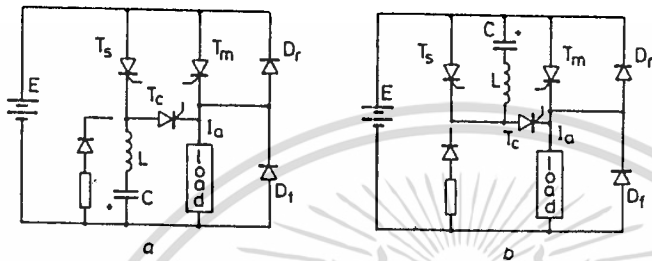
เอกสารนี้เป็นเอกสารที่สงวนไว้สำหรับการใช้งานเพื่อการศึกษาเท่านั้น ไม่อนุญาตให้นำไปใช้ประโยชน์ด้านการค้า
ไม่ว่ากรณีใดๆทั้งสิ้น อีกทั้งห้ามมิให้ดัดแปลงเนื้อหา และต้องอ้างอิงถึงเจ้าของเอกสารทุกครั้งที่มีการนำไปใช้

บทที่ 5

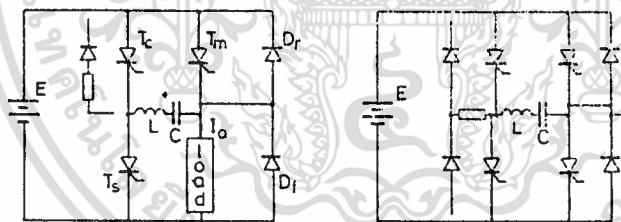
เรื่อง แสดงการวิเคราะห์วงจร CID

5.1 แสดงตัวแปรที่ใช้วิเคราะห์วงจร

- E = supply voltage
 D_f = freewheeling diode
 D_r = return diode
 $-I_u$ = load current
 I_m = maximum load current
 I_p = peak impulse current
 i_c = instantaneous capacitor current
 L = resonant-circuit inductance
 Q = quality factor of LC circuit = $Z_0/R = \omega_0 L/R = 1/\omega_0 CR$
 q = instantaneous capacitor charge
 T_c = commutation thyristor
 T_m = main thyristor
 T_s = set thyristor
 v_c = instantaneous capacitor voltage
 v_0 = initial capacitor voltage
 Z_c = $1/\omega C$
 Z_L = ωL
 Z_0 = characteristic impedance = $\sqrt{L/C}$
 α = damping factor = $R/2L$
 Λ = maximum load current/peak commutation impulse current
 ϕ = $\tan^{-1}(\alpha/\omega)$
 X = supply net output energy/commutation energy
 ω_0 = natural frequency = $1/\sqrt{L/C}$
 ω = damped frequency = $\sqrt{\omega_0^2 - \alpha^2}$



รูปที่ 5.1 Commutation circuits
 a Parallel-load CID commutation circuit
 b Parallel-main-thyristor CID commutation circuit



รูปที่ 5.2 Commutation circuits
 a Parallel load and main thyristor CID commutation circuit
 b McMurray CID commutation circuit

จากรูปจะทำการวิเคราะห์ห้วงจรภายในข้อกำหนดต่อไปนี้

5.1.1) ช่วงเวลาในการจ่ายโหลดต้องมากกว่าเวลาในการ commutation

5.1.2) พลังงานสามารถไหลกลับสู่แหล่งจ่ายได้

5.1.3) การสูญเสียของวงจรถูกจัดให้อยู่ในรูปการสูญเสียเนื่องจากresistance ที่ประกอบอยู่ในรูปวงจรถูก

5.1.4) การสูญเสียในสารกึ่งตัวนำและผลของสวิตช์เปอร์เซ็นต์

เอกสารนี้เป็นเอกสารที่สงวนไว้สำหรับการใช้งานเพื่อการศึกษาเท่านั้น ไม่อนุญาตให้นำไปใช้ประโยชน์ด้านการค้า

ไม่ว่ากรณีใดๆทั้งสิ้น อีกทั้งห้ามมิให้ดัดแปลงเนื้อหา และต้องอ้างอิงถึงเจ้าของเอกสารทุกครั้งที่มีการนำไปใช้

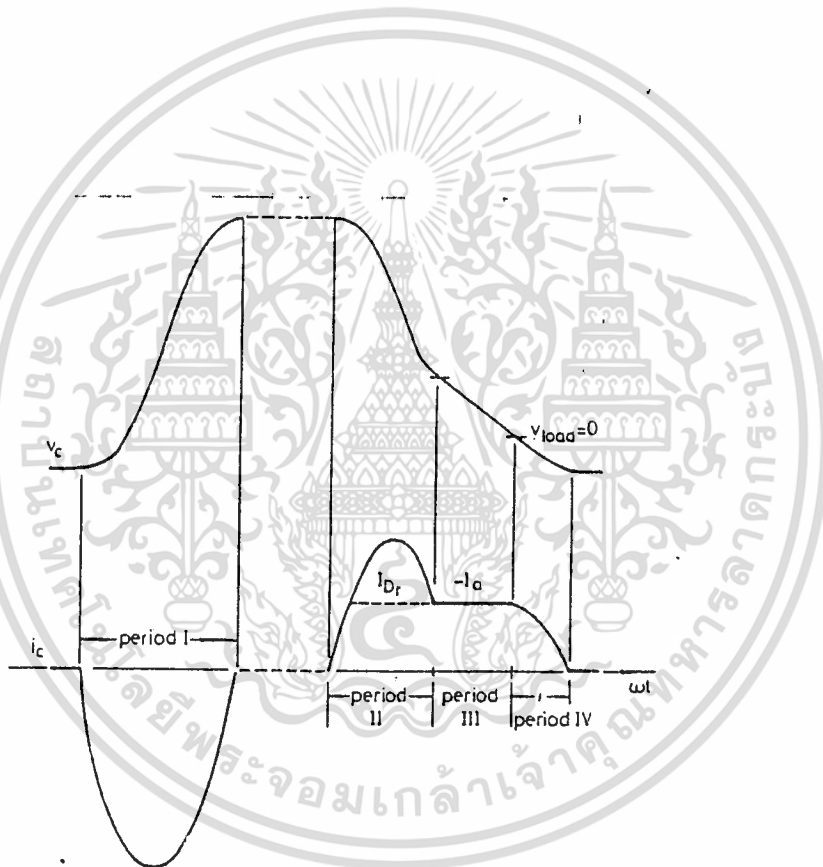
การวิเคราะห์จะทำเป็นช่วงๆ เวลาของรูปคลื่นกระแสของคาปาซิเตอร์ในวงจร commutation ดังรูปที่ 5.3

Period 1 : set cycle

Period 2 : commutation cycle

Period 3 : constant-current portion

Period 4 : trapped-energy transfer



รูปที่ 5.3 Commutation-capacitor voltage and current waveforms

เอกสารนี้เป็นเอกสารที่สงวนไว้สำหรับการใช้งานเพื่อการศึกษาเท่านั้น ไม่ให้นำไปใช้ประโยชน์ด้านการค้า

ไม่ว่ากรณีใดๆทั้งสิ้น อีกทั้งห้ามมิให้ดัดแปลงเนื้อหา และต้องอ้างอิงถึงเจ้าของเอกสารทุกครั้งที่มีการนำไปใช้

Period 1: set cycle

ทริก T_u ให้นำกระแส เพื่อประจุคาปาซิเตอร์ T_u จะหยุดนำกระแสในลักษณะ load commutation

กรณี ไม่คิดการสูญเสียของวงจรถ

$$V_o = q_o / C$$

$$i_o = q'(0) = 0$$

จากสมการแรงดัน

$$L(dq^2/dt^2) + q/C = E$$

ได้คำตอบของสมการแรงดัน

$$V_o(t) = E - (E - V_o) \cos \omega_o t \quad (\text{volt})$$

$$i_o(t) = ((E - V_o) / Z_o) \sin \omega_o t \quad (\text{A})$$

$$0 < \omega_o t < \pi \quad (\text{rad})$$

กรณี คัดการสูญเสียของวงจรถ , Finite Q value

จากสมการแรงดัน

$$L(dq^2/dt^2) + Rdq/dt + q/C = E$$

ได้คำตอบของสมการแรงดัน

$$V_o(t) = E - (E - V_o) (\omega_o / \omega) e^{-\alpha t} \cos(\omega t - \psi) \quad (\text{volt})$$

เอกสารนี้เป็นเอกสารที่สงวนไว้สำหรับการใช้งานเพื่อการศึกษาเท่านั้น ไม่อนุญาตให้นำไปใช้ประโยชน์ด้านการค้า

ไม่ว่ากรณีใดๆทั้งสิ้น หากท่านมีให้ติดต่อแจ้งเนื้อหา แต่ต้องอ้างอิงถึงเจ้าของเอกสารทุกครั้งที่มีการนำไปใช้

$$0 < \omega_0 t < \pi$$

(rad)

Period 2: commutation cycle

โดยการทริก T_u นำกระแสทำให้ พลังงานในคาปาซิเตอร์คือพลังงานให้กับ แหล่งจ่ายโดยผ่าน θ_u และไหลผ่านโหลดด้วย ทำให้กระแสที่ไหลผ่าน T_u มีค่าเป็นศูนย์ และถูก reverse biased นานกว่าช่วง turn-off-time ของ T_u ทำให้ T_u หยุดนำกระแส

สำหรับรูปที่ 5.1(a) equivalent circuit ของ period นี้เหมือนกับ zero set cycle

กรณี lossless

$$V_c(t) = E - (E - V_0) \cos \omega_0 t \quad (\text{volt})$$

$$i_c(t) = ((E - V_0) / Z_0) \sin \omega_0 t \quad (\text{A})$$

$$\omega_0 t > \pi \quad (\text{rad})$$

กรณี Finite Q value

$$V_c(t) = E - (E - V_0) (\omega_0 / \omega) e^{-\alpha t} \cos (\omega t - \phi) \quad (\text{volt})$$

$$i_c(t) = ((E - V_0) / \omega L) e^{-\alpha t} \sin \omega t \quad (\text{A})$$

$$\omega t > \pi \quad (\text{rad})$$

Period 3, constant current portion

เมื่อ T_u turn-off แล้ว capacitor จะยังคงจ่ายโหลดต่อไปอีกช่วงหนึ่ง

เอกสารนี้เป็นเอกสารที่สงวนไว้สำหรับการใช้งานเพื่อการศึกษาเท่านั้น ไม่อนุญาตให้นำไปใช้ประโยชน์ด้านการค้า
ไม่ว่ากรณีใดๆทั้งสิ้น อีกทั้งห้ามมิให้ดัดแปลงเนื้อหา และต้องอ้างอิงถึงเจ้าของเอกสารทุกครั้งที่มีการนำไปใช้

กรณี lossless

$$i_c(t) = -I_u$$

สมการแรงดันของ capacitor $V_c(t) = 1/c \int i_c(t) dt$

สมการสุดท้ายของ capacitor voltage

$$V_c(t) = V_{PII} - (I_u/C)t \quad (\text{volt})$$

กรณี finite 0 value

$$V_c(t) = V_{PII} - (I_u/C)t + I_u R \quad (\text{volt})$$

เมื่อ V_{PII} คือ capacitor voltage ที่เวลาสุดท้ายของ period II

Period 4 trapped energy transfer

เมื่อ capacitor ลดลงเป็นศูนย์ พลังงานที่สะสมใน inductor คือ $(1/2)LI_u^2$ จะ transfer ไปยัง capacitor (Capacitor voltage boost)

กรณี lossless

$$V_o = q_c/C = 0$$

$$i_o = q'(0) = -I_u$$

จากสมการแรงดัน

$$L(dq^2/dt^2) + q/C = 0$$

ค่าตลาดของสมการแรงดัน

เอกสารนี้เป็นเอกสารที่สงวนไว้สำหรับการใช้งานเพื่อการศึกษาเท่านั้น ไม่อนุญาตให้นำไปใช้ประโยชน์ด้านการค้า
ไม่ว่ากรณีใดๆทั้งสิ้น อีกทั้งห้ามมิให้ตัดแปลงเนื้อหา และต้องอ้างอิงถึงเจ้าของเอกสารทุกครั้งที่มีการนำไปใช้

$$V_c(t) = -(E + I_m Z_0) \sin \omega_0 t \quad (\text{volt})$$

$$i_c(t) = -I_m \cos \omega_0 t \quad (\text{A})$$

$$0 < \omega_0 t < \pi/2 \quad (\text{rad})$$

กรณี คัดการสูญเสียของวงจร , Finite Q value

จากสมการแรงดัน

$$L(dq^2/dt^2) + Rdq/dt + q/C = 0$$

ได้คำตอบของสมการแรงดัน

$$V_c(t) = -I_m (V_0 / V_c) e^{-\alpha t} \sin(\omega t - 2\psi) \quad (\text{volt})$$

$$i_c(t) = -I_m (I_0 / I_c) e^{-\alpha t} \cos(\omega t - \psi) \quad (\text{A})$$

$$0 < \omega t < \pi/2 \quad (\text{rad})$$

เอกสารนี้เป็นเอกสารที่สงวนไว้สำหรับการใช้งานเพื่อการศึกษาเท่านั้น ไม่อนุญาตให้นำไปใช้ประโยชน์ด้านการค้า
ไม่ว่ากรณีใดๆทั้งสิ้น อีกทั้งห้ามมิให้ดัดแปลงเนื้อหา และต้องอ้างอิงถึงเจ้าของเอกสารทุกครั้งที่มีการนำไปใช้

Table 1: Equations describing the CID commutation process, without and with losses

Commutation circuit		Finite θ value equations	
Lossless equations		Fig. 1a	Fig. 1b
1st cycle	0	0	0
Initial capacitor voltage V_0		0	0
Subsequent cycle	$-I_s Z_0$	$-E - I_s Z_0 e^{-\Gamma \sin^{-1}(\omega t - \phi)}$	$-E - I_s Z_0 e^{-\Gamma \sin^{-1}(\omega t - \phi)}$
Set cycle: period I	$V_r = E - (E - V_0) \cos \omega_0 t$	$V_r = E - (E - V_0) \frac{\omega_0}{\omega} e^{-\gamma t} \cos(\omega t - \phi)$	$V_r = E - (E - V_0) \frac{\omega_0}{\omega} e^{-\gamma t} \cos(\omega t - \phi)$
$0 \leq \omega_0 t \leq \pi$	$i_r = \frac{E - V_0}{Z_0} \sin \omega_0 t$	$i_r = \frac{E - V_0}{X} e^{-\gamma t} \sin \omega t$	$i_r = \frac{E - V_0}{X} e^{-\gamma t} \sin \omega t$
$0 \leq \omega t \leq \pi$			
Capacitor voltage at the end of the set cycle	$2E - V_0$	$E + (E - V_0)e^{-\Gamma \sin \phi}$	$E + (E - V_0)e^{-\Gamma \sin \phi}$
Commutation cycle: period II	$V_r = E - (E - V_0) \cos \omega_0 t$	$V_r = E - (E - V_0) \frac{\omega_0}{\omega} e^{-\gamma t} \cos(\omega t - \phi)$	$V_r = E - (E - V_0) \frac{\omega_0}{\omega} e^{-\gamma t} \cos(\omega t - \phi)$
$\omega_0 t \geq \pi$	$i_r = \frac{-V_0}{Z_0} \sin \omega_0 t$	$i_r = \frac{-V_0}{X} e^{-\gamma t} \sin \omega t$	$i_r = \frac{-V_0}{X} e^{-\gamma t} \sin \omega t$
$Z_0 = \sqrt{L/C}$	$X_1 = \omega L$		
Load current magnitude dependent period III	$V_r = V_{pH} - \frac{I_s t}{C}$	$V_r = V_{pH} - \frac{I_s t}{C} + I_s R$	$V_r = V_{pH} - \frac{I_s t}{C}$
$V_{pH} = V_r \left(i_r = I_s, \omega_0 t > \frac{3\pi}{2} \right)$	$i_r = -I_s$	$i_r = -I_s$	$i_r = -I_s$
V_r at the end of period III	0	$I_s R$	$I_s R - E$
Capacitor voltage boost cycle: period IV	$V_r = -E - I_s Z_0 \sin \omega_0 t$	$V_r = -E - I_s X_1 e^{-\gamma t} \sin(\omega t - 2\phi)$	$V_r = -E - I_s X_1 e^{-\gamma t} \sin(\omega t - 2\phi)$
$0 \leq \omega_0 t \leq \pi/2$	$i_r = -I_s \cos \omega_0 t$	$i_r = -I_s \frac{\omega_0}{\omega} e^{-\gamma t} \cos(\omega t - \phi)$	$i_r = -I_s \frac{\omega_0}{\omega} e^{-\gamma t} \cos(\omega t - \phi)$
$X_1 = 1/\omega C$			
Final capacitor voltage	$-I_s Z_0$	$-E - I_s Z_0 e^{-\Gamma \sin^{-1}(\omega t - \phi)}$	$-E - I_s Z_0 e^{-\Gamma \sin^{-1}(\omega t - \phi)}$
$V_{pIV} = V_0$			

ไม่ว่าการณ์ใดๆทั้งสิ้น อีกทั้งห้ามมิให้คัดแปลงเนื้อหา และต้องอ้างอิงถึงเจ้าของเอกสารทุกครั้งที่มีการนำไปใช้

NOTE

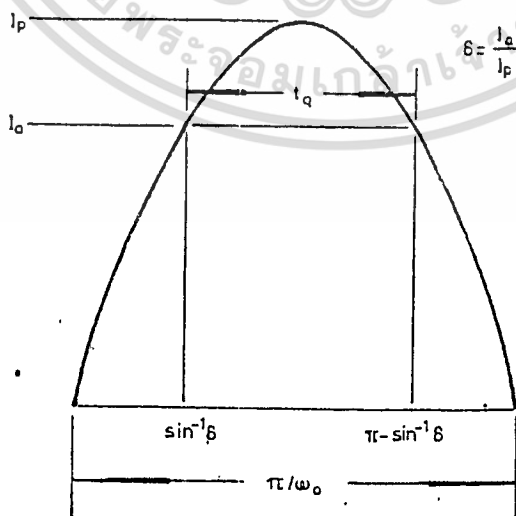
จากตารางที่ 1 จะเห็นว่าเมื่อเสร็จจากการทำงานในรอบแรกแล้ว capacitor จะเก็บพลังงานเอาไว้มีผลทำให้ capacitor voltage เริ่มต้นในการทำงานรอบต่อไป มีค่าสูงกว่ารอบแรก และ capacitor voltage ส่วนนี้เองมีผลต่อการวิเคราะห์วงจรในลำดับต่อไปคือ

1) discharged capacitor voltage ส่วนนี้ทิ้งโดยผ่าน resistor และ diode ที่เขี่ยล้อยไว้ในรูปที่ ให้เป็นเช่นสภาพเริ่มต้น ของการทำงานในรอบแรก เพื่อจะทำให้การวิเคราะห์วงจรทำได้ง่ายไม่ซับซ้อน (without trapped energy)

2) นำพลังงานส่วนนี้ไปใช้กับวงจรในรอบต่อไป ซึ่งจะทำให้วงจรมีความสามารถที่จะ commutated main thyristor ในระดับกระแสที่สูงกว่าเดิมได้ กรณีนี้เรียกว่า trapped energy ที่การวิเคราะห์วงจรมีความยุ่งยากซับซ้อนมากขึ้น

5.2 Optimal commutation sinusoidal impulse

พิจารณา commutation (period) เพื่อให้ T_{sc} turn-off พลิกการก็คือ ลด sc current ให้เป็นศูนย์แล้วให้ reverse-biased เป็นเวลานานกว่าหรือเท่ากับ sc turn-off time, t_c เป็นอย่างน้อย และจากข้อกำหนดของวงจรที่นำมาวิเคราะห์นี้ ให้กระแสไหลคงที่ (constant load current)



$$x = W / EI \cdot t$$

$$x = 2/\lambda (1 - 2 \sin^{-1} \lambda)$$

พลังงานที่จ่ายให้วงจร commutation / พลังงานที่ใช้ commutated = x

ต้องการให้ x มีค่าน้อยที่สุด โดย $dx/d\lambda = 0$

ได้ $\lambda = \cos(\lambda/\sqrt{1-\lambda^2})$

$$\lambda = 0.6522$$

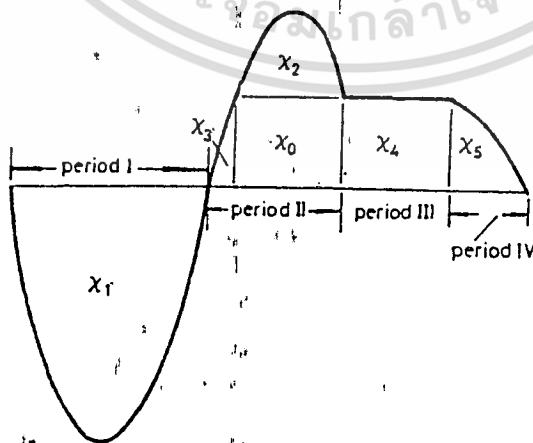
$$x = 1.78$$

$$I = 1.539 I$$

กรณีที่ 2 นำพลังงานกลับมาใช้, trapped energy retained

ในการนำพลังงานกลับมาใช้ก็แบ่งได้เป็น 2 ลักษณะ

- 1) นำพลังงานกลับมาใช้บางส่วน while trapped-energy dissipation
- 2) นำพลังงานกลับมาใช้ทั้งหมด while trapped-energy recovered



รูปที่ 5.5 LC-circuit commutation current waveform for all CID circuits showing energy ratio x components

เอกสารนี้เป็นเอกสารที่สงวนไว้สำหรับใช้เฉพาะในวงการศึกษาเท่านั้น ไม่อนุญาตให้นำไปเผยแพร่โดยไม่ขออนุญาต

ไม่ว่ากรณีใดๆทั้งสิ้น อีกทั้งห้ามมิให้คัดลอกเนื้อหา และต้องอ้างอิงถึงเจ้าของเอกสารทุกครั้งที่มีการนำไปใช้

วงจรรูป 5.1 (a)

ใน period 2 มีการคืนพลังงานให้กลับแหล่งจ่าย

$$w' = E \int_{(n-\sin^{-1}\lambda)/\omega_0}^{(n+\sin^{-1}\lambda)/\omega_0} (I_p \sin \omega_0 t - I_n) dt \quad (j)$$

$$= E \left((-I_p / \omega_0) \cos \omega_0 t - I_n t \right) \Big|_{(n-\sin^{-1}\lambda)/\omega_0}^{(n+\sin^{-1}\lambda)/\omega_0}$$

$$w' = E I_n t_n \left(\frac{2\sqrt{1-\lambda^2}}{\lambda} / (n - 2\sin^{-1}\lambda) \right) - 1$$

$$x' = \left(\frac{2\sqrt{1-\lambda^2}}{\lambda} / (n - 2\sin^{-1}\lambda) \right) - 1$$

จากที่รับพลังงานมา x' มาจากแหล่งจ่ายและจ่ายกลับคืนไปให้แหล่งจ่าย x' ดังนั้น พลังงานที่แหล่งจ่ายให้กับวงจร เป็น

$$x_{5.1(a)} = x - x'$$

$$x_{5.1(a)} = 1 + \frac{2(1-\sqrt{1-\lambda^2})}{\lambda(n-2\sin^{-1}\lambda)}$$

จาก capacitor voltage boost $-1/\lambda Z_0$ (จากตารางที่ 1) ทำ
ให้พลังงานที่เก็บใน capacitor เป็น

$$w'' = (C/2) (1/\lambda Z_0)^2$$

$$= E I_n t_n \left(\lambda / 2(n - 2\sin^{-1}\lambda) \right)$$

$$x'' = \lambda / (2(n - 2\sin^{-1}\lambda))$$

ถ้าพลังงาน x'' นั้น สูญเสียไป ดังนั้นพลังงานที่ให้ commutation circuit เป็น

เอกสารนี้เป็นเอกสารที่สงวนไว้สำหรับการใช้งานเพื่อการศึกษาเท่านั้น ไม่อนุญาตให้นำไปใช้ประโยชน์ด้านการค้า
ไม่ว่ากรณีใดๆทั้งสิ้น อีกทั้งห้ามมิให้ตัดแปลงเนื้อหา และต้องอ้างอิงถึงเจ้าของเอกสารทุกครั้งที่มีการนำไปใช้

$$\begin{aligned}
 x'_{5.1(a)} &= x_{5.1(a)} + x'' \\
 &= 1 + \frac{2(1 - \sqrt{1-\lambda^2})}{\lambda(\pi - 2\sin^{-1} \lambda)} + \frac{\lambda}{2(\pi - 2\sin^{-1} \lambda)} \\
 &= 1 + (2(1 - \sqrt{1-\lambda^2}) + \lambda^2/2) / \lambda(\pi - 2\sin^{-1} \lambda)
 \end{aligned}$$

ถ้านั่งงาน x'' นั้น ส่งคืนกลับไปให้แหล่งจ่าย ทำให้ประสิทธิภาพของวงจรเพิ่มขึ้น

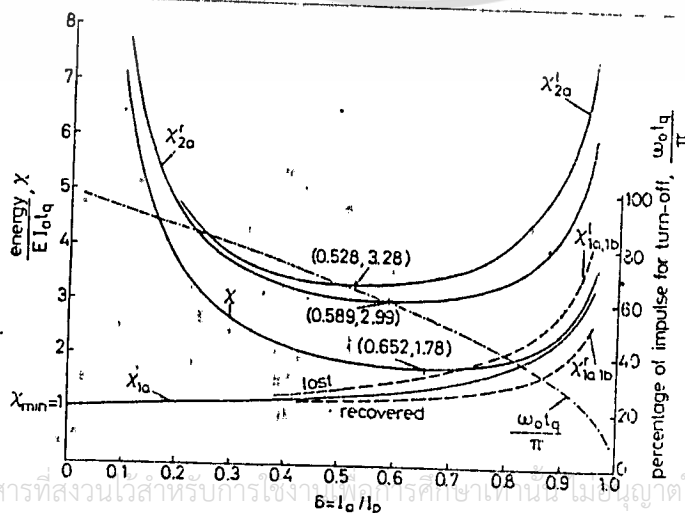
$$\begin{aligned}
 x'_{5.1(b)} &= x_{5.1(b)} - x'' \\
 &= 1 + (2(1 - \sqrt{1-\lambda^2}) - \lambda^2/2) / \lambda(\pi - 2\sin^{-1} \lambda)
 \end{aligned}$$

วงจรรูป 5.1 (b)

$$\begin{aligned}
 x_{5.1(a)} &= x_0 + x_1 + x_2 + x_3 \\
 x_{5.1(b)} &= 1 + (\lambda + 2(1 - \sqrt{1-\lambda^2})) / \lambda(\pi - 2\sin^{-1} \lambda) \\
 x'_{5.1(a)} &= 1 + (2(1 - \sqrt{1-\lambda^2}) + \lambda^2/2) / \lambda(\pi - 2\sin^{-1} \lambda) \\
 x'_{5.1(b)} &= 1 + (2(1 - \sqrt{1-\lambda^2}) - \lambda^2/2) / \lambda(\pi - 2\sin^{-1} \lambda)
 \end{aligned}$$

วงจรรูป 5.2 (a)

$$\begin{aligned}
 x_{5.2(a)} &= x_0 + x_1 + x_2 + x_3 + x_4 \\
 x_{5.2(b)} &= 1 + (\lambda + 2(2 - \sqrt{1-\lambda^2})) / \lambda(\pi - 2\sin^{-1} \lambda) \\
 x'_{5.2(a)} &= 1 + (2(2 - \sqrt{1-\lambda^2}) + \lambda^2/2) / \lambda(\pi - 2\sin^{-1} \lambda) \\
 x'_{5.2(b)} &= 1 + (2(1 - \sqrt{1-\lambda^2}) - \lambda^2/2) / \lambda(\pi - 2\sin^{-1} \lambda)
 \end{aligned}$$



เอกสารนี้เป็นเอกสารที่สงวนไว้สำหรับการใช้งานในวิทยาลัยเท่านั้น ไม่อนุญาตให้นำไปใช้ประโยชน์ด้านการค้า

ไม่ว่ากรณีใดๆทั้งสิ้น อีจันจะรับผิดชอบเฉพาะเนื้อหา และต้องอ้างอิงถึงเจ้าของเอกสารทุกครั้งที่มีการนำไปใช้

เมื่อ

$$\alpha_0 = (\pi - 2\sin^{-1} \lambda) / t_\alpha$$

$$L = Z_0 / \alpha_0$$

$$C = 1 / Z_0 \alpha_0$$

	วงจรถ่าย 5.1 (a, b)	วงจรถ่าย 5.2 (a)
ไม่มีการเก็บ พลังงาน	$L = \frac{\lambda}{(\pi - 2\sin^{-1} \lambda)} \frac{E t_\alpha}{I_m}$ $C = \frac{1}{\lambda(\pi - 2\sin^{-1} \lambda)} \frac{I_m t_\alpha}{E}$	$L = \frac{2\lambda}{(\pi - 2\sin^{-1} \lambda)} \frac{E t_\alpha}{I_m}$ $C = \frac{1}{2\lambda(\pi - 2\sin^{-1} \lambda)} \frac{I_m t_\alpha}{E}$
มีการเก็บ พลังงาน	$L = \frac{\lambda}{(1-\lambda)(\pi - 2\sin^{-1} \lambda)} \frac{E t_\alpha}{I_m}$ $C = \frac{1-\lambda}{\lambda(\pi - 2\sin^{-1} \lambda)} \frac{I_m t_\alpha}{E}$	$L = \frac{3\lambda}{(1-\lambda)(\pi - 2\sin^{-1} \lambda)} \frac{E t_\alpha}{I_m}$ $C = \frac{1-\lambda}{3\lambda(\pi - 2\sin^{-1} \lambda)} \frac{I_m t_\alpha}{E}$
ค่า λ ที่เป็นไปได้ $0 < \lambda < 1$	$\lambda = 0.667$	$\lambda = 0.528$ Or 0.589

ตารางที่ 4

เอกสารนี้เป็นเอกสารที่สงวนไว้สำหรับการใช้งานเพื่อการศึกษาเท่านั้น ไม่อนุญาตให้นำไปใช้ประโยชน์ด้านการค้า
ไม่ว่ากรณีใดๆทั้งสิ้น อีกทั้งห้ามมิให้ดัดแปลงเนื้อหา และต้องอ้างอิงถึงเจ้าของเอกสารทุกครั้งที่มีการนำไปใช้

5.3 Critical circuit Q factor

LC circuit critical Q factor คือ ค่า Q ที่ทำให้ไม่ต้องเกิด period 3
รูปที่ 5.1(a)

$$V_c = I_c R = E - (E - V_0) (\omega_0 / \omega) e^{-\alpha t} \cos(\omega t - \phi)$$

$$I_c = ((E - V_0) / \omega L) e^{-\alpha t} \sin \omega t$$

เมื่อ
$$V_0 = -I_c Z_0 e^{-(\cos^{-1}(-1/2Q) / \sqrt{4Q^2 - 1})}$$

$$3\pi/2 < \omega t < 2\pi \quad \text{rad/s}$$

$$Q^2 = (\tan^{-1}(\sqrt{4Q^2 - 1} / (1 - 2QA)) + n\pi) / \ln(B^2 / (A^2 + A/Q + 1))^2 + 1/4$$

เมื่อ
$$A = E / I_c Z_0 e^{-(\cos^{-1}(-1/2Q) / \sqrt{4Q^2 - 1})}$$

$$B = A + e$$

$$n = 2$$

วงจร 5.1 (b) ได้ผลเช่นเดียวกับ วงจร 5.2 (a)

วงจร 5.2 (a) จะได้

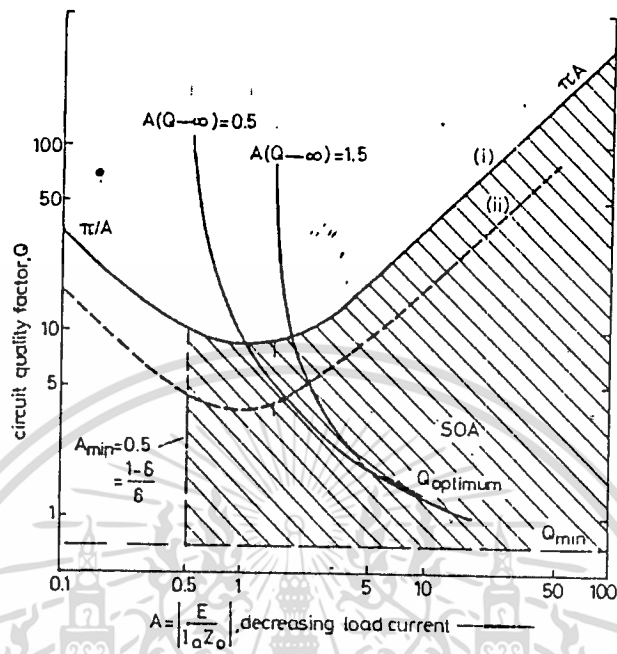
$$Q^2 = (\tan^{-1}(\sqrt{4Q^2 - 1} / (1 - 2QA)) + n\pi) / \ln(B^2 / (A^2 + A/Q + 1))^2 + 1/4$$

เมื่อ
$$A = E / I_c Z_0$$

$$B = A + 2Ae^{-\pi / \sqrt{4Q^2 - 1}} + e^{-(\cos^{-1}(-1/2Q) / \sqrt{4Q^2 - 1})}$$

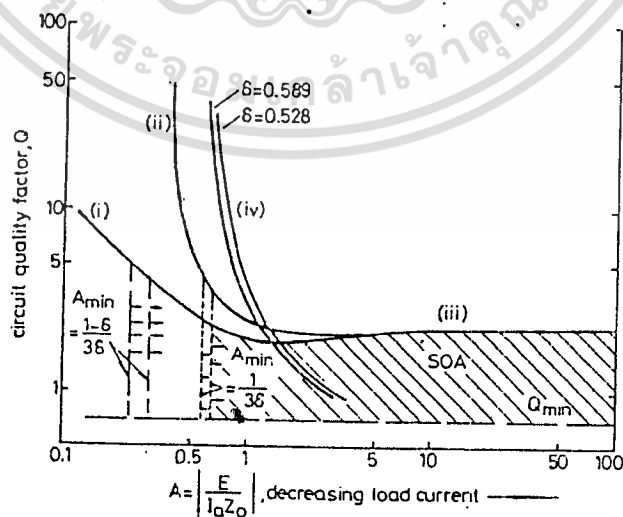
$$n = 2$$

เอกสารนี้เป็นเอกสารที่สงวนไว้สำหรับการใช้งานเพื่อการศึกษาเท่านั้น ไม่นอนุญาตให้นำไปใช้ประโยชน์ด้านการค้า
ไม่ว่ากรณีใดๆทั้งสิ้น อีกทั้งห้ามมิให้ดัดแปลงเนื้อหา และต้องอ้างอิงถึงเจ้าของเอกสารทุกครั้งที่มีการนำไปใช้



รูปที่ 5.7 Commutation-circuit critical circuit Q against load current, for the circuits of Figs. 1a and 1b

- (i) $Q_{critical}$ for the circuits of Figs. 1a and 1b with trapped energy
- (ii) $Q_{critical}$ for the circuit of Fig. 2b with trapped energy



รูปที่ 5.8 Commutation-circuit critical circuit Q against load current, for the circuit of Fig. 2a

- (i) $Q_{critical}$ with trapped energy
- (ii) $Q_{critical}$ without trapped energy
- (iii) $Q_{critical}$ for circuit of Fig. 2a
- (iv) $Q_{optimum}$

เอกสารนี้เป็นเอกสารที่สงวนลิขสิทธิ์ของมหาวิทยาลัยเทคโนโลยีพระจอมเกล้าเจ้าคุณทหารลาดกระบัง ไม่อนุญาติให้นำไปใช้ประโยชน์ด้านการค้า ไม่ว่ากรณีใดๆทั้งสิ้น อีกทั้งห้ามมิให้ตัดแปลงเนื้อหา และต้องอ้างอิงถึงเจ้าของเอกสารทุกครั้งที่มีการนำไปใช้

จาก $A = E/I_m Z_{in} = I_p/I_m = 1/\lambda$

จะได้ Maximum commutable current ($A_{min}, Q \rightarrow \alpha$)

	วงจรที่ 5.1(a,b)	วงจรที่ 5.2 (a)	
ไม่มีการเก็บพลังงาน	$1/\lambda$ 1.5	$1/3\lambda$ 0.631	0.566
มีการเก็บพลังงาน	$(1-\lambda)/\lambda$ 0.5	$(1-\lambda)/3\lambda$ 0.298	0.233
ค่า λ ที่เป็นไปได้	0.667	$\lambda=0.528$	$\lambda=0.589$

ตารางที่ 5

Optimal or possible LC component values			
	Circuit		
	Figs. 1a, 1b, 2b	Fig. 2a	
No trapped energy retained (or first cycle)	$L = 0.396 \frac{E}{I_m} I_q$ $C = 0.892 \frac{I_m}{E} I_q$	$L = 0.520 \frac{E}{I_m} I_q$ or $0.781 \frac{E}{I_m} I_q$ $C = 0.467 \frac{I_m}{E} I_q$ or $0.311 \frac{I_m}{E} I_q$	$L = 0.626 \frac{E}{I_m} I_q$ or $0.939 \frac{E}{I_m} I_q$ $C = 0.451 \frac{I_m}{E} I_q$ or $0.300 \frac{I_m}{E} I_q$
Trapped energy retained	$L = 1.189 \frac{E}{I_m} I_q$ $C = 0.297 \frac{I_m}{E} I_q$	$L = 1.654 \frac{E}{I_m} I_q$ $C = 0.147 \frac{I_m}{E} I_q$	$L = 2.284 \frac{E}{I_m} I_q$ $C = 0.124 \frac{I_m}{E} I_q$
δ value	0.667	0.528	0.589

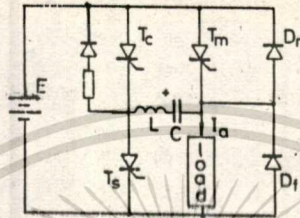
เอกสารนี้เป็นเอกสารที่สงวนไว้สำหรับการใช้งานเพื่อการศึกษาเท่านั้น ไม่อนุญาตให้นำไปใช้ประโยชน์ด้านการค้า
ไม่ว่ากรณีใดๆทั้งสิ้น อีกทั้งห้ามมิให้ดัดแปลงเนื้อหา และต้องอ้างอิงถึงเจ้าของเอกสารทุกครั้งที่มีการนำไปใช้

ตารางที่ 6

บทที่ 6

เรื่อง การทดลองและผลการทดลอง

6.1 การทดลองในกรณีที่วงจรไม่มีการเก็บพลังงาน



รูปที่ 6.1 รูปที่ใช้ทำการทดลอง จากตารางที่ 5.2 (ก) เมื่อไม่มีการเก็บพลังงาน จะใช้ค่า $\lambda = 0.528$
 แรงดัน 40 โวลต์ กระแส 2 แอมป์ $t_\alpha = 250 \mu s$

$$C = \frac{1}{2\lambda(1-2\sin^{-1}\lambda)} \frac{I_m t_\alpha}{E}$$

$$L = \frac{2\lambda}{(1-\sin^{-1}\lambda)} \frac{E t_\alpha}{I_m}$$

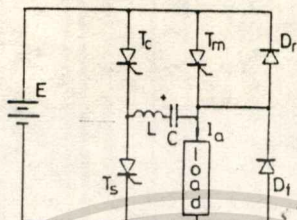
$$C = 6 \mu F, L = 2.6 \text{ mH}$$

V_c —



รูปที่ 6.2 รูปแสดงแรงดันที่โหลดและแรงดันที่คาปาซิเตอร์เมื่อไม่มีการเก็บพลังงาน
 เอกสารนี้เป็นเอกสารที่สงวนลิขสิทธิ์ไว้เพื่อใช้ในการเรียนการสอนเท่านั้น
 ไม่ว่ากรณีใดๆทั้งสิ้น อีกทั้งห้ามมิให้ตัดแปลงเนื้อหา และต้องอ้างอิงถึงเจ้าของเอกสารทุกครั้งที่มีการนำไปใช้

6.2 การทดลองในกรณีที่วงจรมีการเก็บพลังงาน



รูปที่ 6.3 รูปที่ใช้ทำการทดลอง

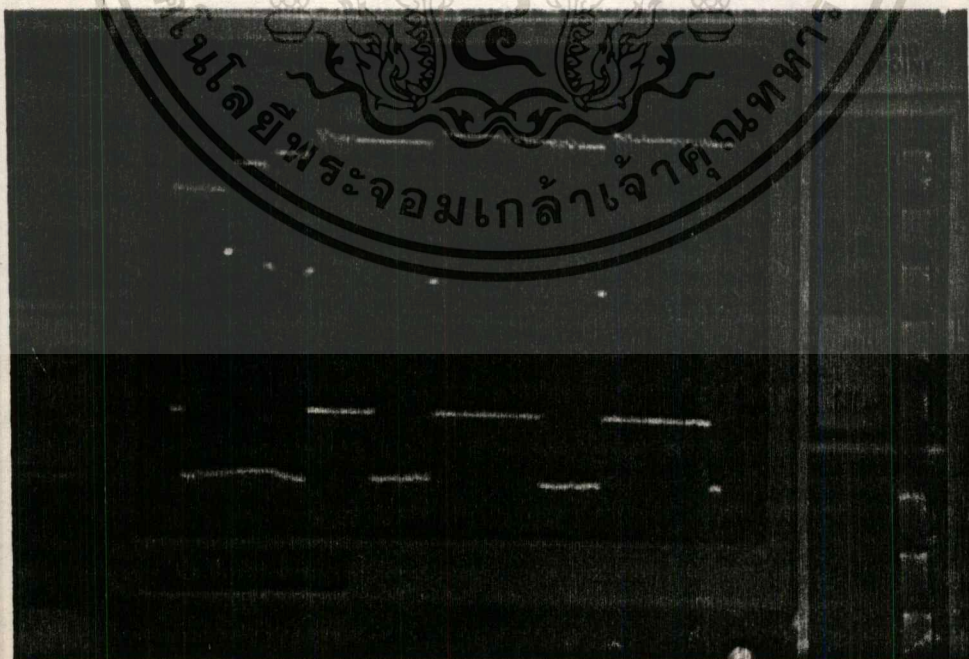
จากตารางที่ 5.2 (a) เมื่อมีการเก็บพลังงาน จะใช้ค่า $\lambda = 0.528$

แรงดัน 40 โวลต์ กระแส 2 แอมป์ $t_{\alpha} = 250 \mu s$

$$C = \frac{(1-\lambda) I_m t_{\alpha}}{3\lambda(1-2\sin^{-1}\lambda) E} \quad I_m = \frac{E t_{\alpha}}{(1-\lambda)(1-2\sin^{-1}\lambda) I_m}$$

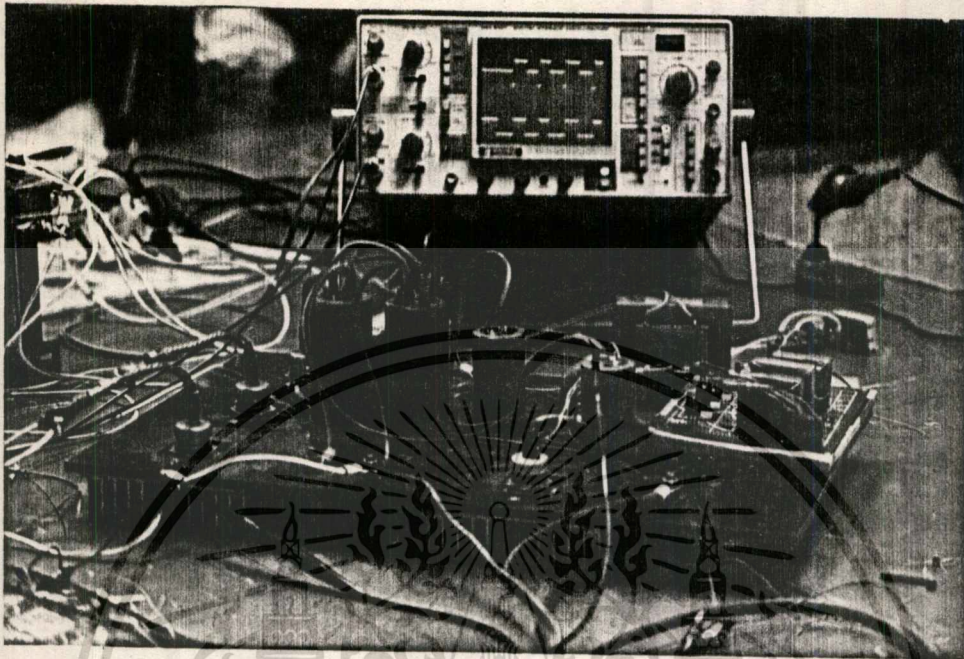
$$C = 1.8 \mu F, \quad L = 8.26 \text{ mH}$$

V_c

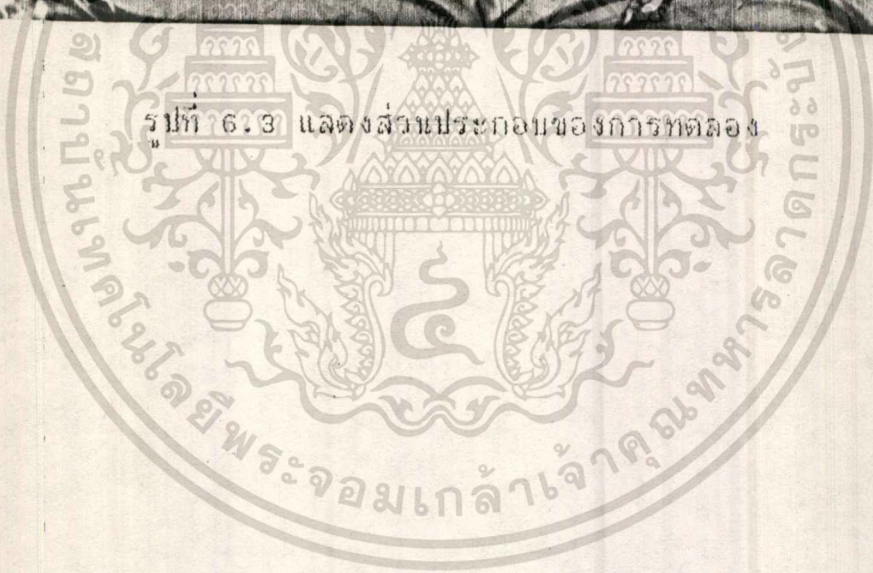


รูปที่ 6.2 รูปแสดงแรงดันที่โหลดและแรงดันที่คาปาซิเตอร์เมื่อมีการเก็บพลังงาน

ไม่ว่ากรณีใดๆทั้งสิ้น อีกทั้งห้ามมิให้คัดแปลงเนื้อหา และต้องอ้างอิงถึงเจ้าของเอกสารทุกครั้งที่มีการนำไปใช้



รูปที่ 6.23 แสดงส่วนประกอบของการทดลอง



เอกสารนี้เป็นเอกสารที่สงวนไว้สำหรับการใช้งานเพื่อการศึกษาเท่านั้น ไม่อนุญาตให้นำไปใช้ประโยชน์ด้านการค้า
ไม่ว่ากรณีใดๆทั้งสิ้น อีกทั้งห้ามมิให้ดัดแปลงเนื้อหา และต้องอ้างอิงถึงเจ้าของเอกสารทุกครั้งที่มีการนำไปใช้

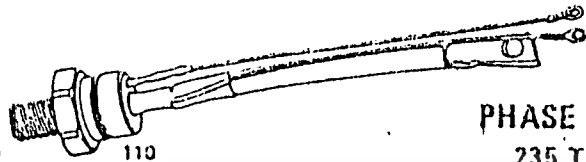
บทที่ 7

เรื่อง สรปและวิจารณ์ผลการทดลอง

จากผลการทดลองที่ได้ทดลองมาพบว่าค่าการทนแรงดันของคาปาซิเตอร์นั้นจะมีค่าเป็น 2 เท่าของแหล่งจ่าย ถ้าใช้ที่แหล่งจ่ายแรงดันสูงๆ ทำหาค่าคาปาซิเตอร์ที่มีค่าเหมาะสมยากและมีราคาสูง และอุปกรณ์กำลังมีราคาสูงดังนั้นในการทดลองจึงต้องมีอุปกรณ์ป้องกันที่ดีมาก และจะเห็นว่าในวงจรที่มีการเก็บพลังงานนั้นจะใช้ค่าคาปาซิเตอร์ที่มีค่าต่ำกว่าแบบที่ไม่มีมีการเก็บพลังงานและการออกแบบวงจรก็จะต้องจัดเวลาการทำงานให้เหมาะสมไม่เช่นนั้นแล้วจะทำให้เกิดการลัดวงจรระหว่าง T_1 กับ T_2



ภาคผนวก

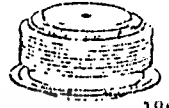


110

PHASE CONTROL SCRs
235 TO 850 AMPERES



200



186

GE TYPE	C180	C180X600	C280	C300X650	C380X600	C380	C391	C601	C602
ELECTRICAL SPECIFICATIONS									
VOLTAGE RANGE	500-1300	100-500	100-1200	100-1200	100-600	500-1300	1300-1600	700-2000	1600-2200
FORWARD CONDUCTION									
I_T(RMS) Min. RMS On-State Current (A)	738	300	180	460	600	100	800	650	850
I_{TA(V)} Max. average on-state current @ 100°C conduction (A) @ T _c	180 @ 80°C	255 @ 70°C	338 @ 80°C	316 @ 80°C	378 @ 70°C	200 @ 50°C	410 @ 80°C	650 @ 80°C	418 @ 80°C
I_{TA(V)} Max. average on-state current for 3 _φ conduction (A) @ T _c	138 @ 80°C	225 @ 70°C	180 @ 80°C	316 @ 80°C	378 @ 70°C	440 @ 50°C	410 @ 80°C	525 @ 70°C	460 @ 80°C
I_{ISM} Min. peak one cycle, non-repetitive surge current (A)	3800	6600	7800	3200	8900	1000	1000	1000	1000
I_{SM} Min. I _T for fusing for 8.3 msec (A) Sec	80,000	125,000	80,000	42,000	128,000	785,000	288,000	265,000	284,000
V_{TM} Peak on-state voltage @ 125°C, 180 conduction, rated I _{TA(V)} , I _V	1.7	1.35	1.8	2.3 (1180°C)	1.44	2.0	1.8	1.9	1.9
ρ_{jc} Max. internal thermal resistance, junction-to-case (C/W)	.14	.14	.098	.96	.098	.08	.18	.08	.08
t_{tr} Typical turn-off time (μsec)	260	260	260	75	180	125	200	300	125
t_{tr} Typical turn-on time (μsec)	1.8	1.5	1.8	1.8	1.8	1.5	1.8	1.5	1.8
d_{dv/dt} Rate of rise of turn-on current (A/μsec)	200	200	200	300	200	500	160	30-75	100
T_j Junction operating temperature range (°C)	-40 to 125°C	-40 to 125°C	-40 to 125°C	-40 to 150°C	-40 to 125°C	-40 to 125°C	-40 to 125°C	40 to 125°C	-40 to 125°C
BLOCKING									
d_{dv/dt} Min. critical rate of rise of off-state voltage, experimental @ max. rated T _j (V/μsec)	200	200	200	200	200	200	200	10.8 V _{OH(M)} 160	10.8 V _{OH(M)} 160
FIRING									
I_{GT} Max. required gate current to trigger (mA) @ -40°C	200	200	200	200	200	300	300	225	275
V_{GT} Max. required gate voltage to trigger (V) @ -40°C	3	3	3	3 (1180°C)	3	5	5	6.5	4.5
V_{GT} Min. required gate voltage to trigger (V) @ 125°C	1.8	1.6	1.8	1.7 (1180°C)	1.8	2.5	1.4	1.5	3
VOLTAGE TYPES									
Repetitive Peak Forward and Reverse Voltage									
100		C180AX600	C380A	C380AX655	C380AX600				
200		C180BX500	C380B	C380BX655	C380BX600				
300		C180CX600	C380C	C380CX655	C380CX600				
400		C180DX500	C380D	C380DX655	C380DX600				
500		C180EX500	C380E	C380EX655	C380EX600				
600		C180FX600	C380F	C380FX655	C380FX600				
700		C180GX500	C380G	C380GX655	C380GX600				
800		C180HX500	C380H	C380HX655	C380HX600				
900		C180IX500	C380I	C380IX655	C380IX600				
1000		C180JPA	C380JPA	C380JAX655	C380JAX600				
1100		C180JPB	C380JPB	C380JPBX655	C380JPBX600				
1200		C180JPC	C380JPC	C380JPCX655	C380JPCX600				
1300		C180JPD	C380JPD	C380JPDX655	C380JPDX600				
1400		C180JPE	C380JPE	C380JPEX655	C380JPEX600				
1500		C180JPF	C380JPF	C380JPFX655	C380JPFX600				
1600		C180JPG	C380JPG	C380JPGX655	C380JPGX600				
1700		C180JPH	C380JPH	C380JPHX655	C380JPHX600				
1800		C180JPI	C380JPI	C380JPIX655	C380JPIX600				
1900		C180JPIA	C380JPIA	C380JPIAX655	C380JPIAX600				
2000		C180JPIB	C380JPIB	C380JPIBAX655	C380JPIBAX600				
PACKAGE TYPE	STUD	K STUD	J PRESS PAK	K PRESS PAK	M PRESS PAK	PRESS PAK	PHIB PAK	PRESS PAK	PRESS PAK
PACKAGE OUTLINE NO.	110	110	240	240	240	278	278	185	185

(Continued)

เอกสารนี้เป็นเอกสารที่สงวนไว้สำหรับการใช้งานเพื่อการศึกษาเท่านั้น ไม่อนุญาตให้นำไปใช้ประโยชน์ด้านการค้า
ไม่ว่ากรณีใดๆทั้งสิ้น อีกทั้งห้ามมิให้ดัดแปลงเนื้อหา และต้องอ้างอิงถึงเจ้าของเอกสารทุกครั้งที่มีการนำไปใช้

กิตติกรรมประกาศ

ปรัชญาในเล่มนี้สำเร็จได้ด้วยความช่วยเหลือจากบุคคลหลายท่าน ผู้จัดทำขอขอบคุณอาจารย์สิงห์ทอง พัฒนเศรษฐานนท์ อาจารย์ที่ปรึกษาที่ให้คำแนะนำและให้กำลังใจมาโดยตลอด และขอบคุณเพื่อนๆ ทุกคนที่คอย ดิชม, ให้กำลังใจ และให้คำปรึกษา ขอขอบคุณสตรีและภาควิชาเทคโนโลยีการวัดคุมทางอุตสาหกรรม ที่เอื้อเนื้อด้านอุปกรณ์ และ สถานที่มาโดยตลอด ผู้จัดทำจึงขอขอบคุณมา ณ. โอกาสนี้ด้วย



เอกสารนี้เป็นเอกสารที่สงวนไว้สำหรับการใช้งานเพื่อการศึกษาเท่านั้น ไม่อนุญาตให้นำไปใช้ประโยชน์ด้านการค้า
ไม่ว่ากรณีใดๆทั้งสิ้น อีกทั้งห้ามมิให้ดัดแปลงเนื้อหา และต้องอ้างอิงถึงเจ้าของเอกสารทุกครั้งที่มีการนำไปใช้

บรรณานุกรม

- 1) อุดมศักดิ์ ยั้งยืน ; "POWER ELECTRONICS"
- 2) Williams, B.W ; "POWER ELECTRONICS", 1988
- 3) Williams, B.W ; 'Impulse commutated thyristor chopper'
, Proc IEE, 1977, 124, (9), pp 793-795
- 4) Williams, B.W ; 'Current impulse commutated thyristor chopper'
, IEEE Trans., 1980, IEC1-27, pp 119-122
- 5) Williams, B.W ; 'Current-impulse-displacement thyristor
commutation whit controlled trapped energy'
, IEE Proceedings, Vol. 131, Pt. B, No. 2, MARCH 1984

